

UNDERSÖKNING AV OPTIMALA SYSTEM

TORSTEN PÄLSSON

Rapport RE - 38 okt. 1968

**UNDERSÖKNING AV OPTIMALA SYSTEM.**

**Examensarbete i Reglerteknik**

**av T. Pålsson**

REFERENSER

- (1) K. Mårtensson: Linear quadratic control package  
Part I - The continuous problem. RE 6802 Institutionen  
för Regleringsteknik LTH.
- (2) K.J. Åström: Kompendium i Reglerteknik LTH.
- (3) R. E. Kalman and T. S. Englar: A user's manual for the  
automatic synthesis program. Chapter XI.
- (4) R. E. Kalman: When is a linear control system optimal?  
NASA Report nr CR 475.
- (5) A. R. M. Noton: Introduction to variational methods  
in control engineering.
- (6) J. S. Tyler and F. B. Tuteur: The use of a quadratic  
performance index to design multivariable control  
systems. IEEE January 66.
- (7) K. Mårtensson: To appear.

## INLEDNING

Uppgiften består i att studera det så kallade linjär-kvadratiska optimeringsproblemet, och då speciellt att undersöka det stationära slutna systemet med avseende på dess egenvärden. För detta ändamål har utnyttjats en tidigare rapport från institutionen av K. Mårtensson (Ref. 1). Denna innehåller bl. a. en komplett programuppsättning för beräkning av den optimala styrlagen, dels med Runge-Kuttas metod och dels med hjälp av exponentialserier för den kanoniska ekvationen. Den senare metoden har här använts för att erhålla den stationära styrlagen, varefter det slutna systemets egenvärden har beräknats. Vid programmeringen har använts de tidigare skrivna subrutinerna.

Först undersöktes några mindre system vars styrlagar kan beräknas för hand, varefter några sjätte ordningens system med en insignal undersökts. Härvid har även något om observerbarhetens inverkan studerats. En artikel av Kalman (Ref3) ligger här till grund för beräkningarna. Av flervariabla system har beräknats ett modellföljningsystem för ett flygplan. Vidare anges en metod att beräkna egenvärdena till det optimala systemet utgående från karakteristiska ekvationen till Eulermatrisen.

## 2. PROBLEMETS LYDELSE

Betrakta ett linjärt tidsinvariant dynamiskt system givet av ekvationen

$$\frac{dx(t)}{dt} = A \cdot x(t) + B \cdot u(t) \quad (2:1)$$

där  $x(t)$  är en  $n$ -dimensionell tillståndsvektor,  $u(t)$  en  $r$ -dimensionell vektor av insignalen,  $A$  en  $n \times n$  matris och  $B$  en  $n \times r$  matris.

Bilda den så kallade förlustfunktionen

$$V(u) = \frac{1}{2} \left\{ x^T(t_1) Q_0 x(t_1) \right\} + \frac{1}{2} \int_{t_0}^{t_1} \left\{ x^T(s) Q_1 x(s) + u^T(s) Q_2 u(s) \right\} ds \quad (2:2)$$

där  $t_0$  och  $t_1$  är givna tidpunkter. Vi antager att  $Q_0$  och  $Q_1$  är symmetriska positivt semidefinita matriser samt  $Q_2$  är symmetrisk och positivt definit.

Uppgiften består nu i att bestämma en styrlag till systemet (2:1) sådan att förlustfunktionen (2:2) blir så liten som möjligt. Med hjälp av variationskalkyl erhålls två olika metoder att lösa problemet. Ref.(1) ger en redogörelse för dessa, Euler-Lagranges metod och Hamilton-Jacobis metod, varför här endast följer en resumé därvä.

### Lösning av det linjär-kvadratiska optimeringsproblemet.

#### A. Euler-Lagranges metod

Denna lösning erhålls genom att undersöka variationen i förlustfunktionen i näheten av den optimala lösningskurvan. Genom att minimera Hamiltonfunktionen med avseende på  $u$

$$2 \lambda(x, p, u) = x^T Q_1 x + u^T Q_2 u + 2 p^T (Ax + Bu)$$

där  $p$  är Lagranges multiplikator, erhålls

$$u = - Q_2^{-1} B^T p$$

De kanoniska ekvationerna blir

$$\frac{dx}{dt} = \mathbf{X}^{\circ} p = Ax - B Q_2^{-1} B^T p$$

$$\frac{dp}{dt} = -\mathbf{X}^{\circ} x = -Q_1 x - A^T p$$

med randvillkoren givna vid  $t_0$  och  $t_1$ .

Inför  $2n \times 2n$  matrisen  $\sum(t:t_1)$  som är fundamentalmatris till de kanoniska ekvationerna. Då gäller

$$\frac{d}{dt} \sum(t:t_1) = \begin{pmatrix} A & -BQ_2^{-1}B^T \\ -Q_1 & -A^T \end{pmatrix} \sum(t:t_1)$$

Dela upp  $(t:t_1)$  i fyra undermatriser på följande sätt

$$\sum(t:t_1) = \begin{pmatrix} \sum_{11}(t:t_1) & \sum_{12}(t:t_1) \\ \sum_{21}(t:t_1) & \sum_{22}(t:t_1) \end{pmatrix}$$

Nu observeras att de kanoniska ekvationerna är linjära varför man kan erhålla

$$p(t) = S(t) \cdot x(t)$$

där

$$S(t) = (\sum_{21}(t:t_1) + \sum_{22}(t:t_1)Q_0)(\sum_{11}(t:t_1) + \sum_{12}(t:t_1)Q_0)^{-1}$$

och  $S$  symmetrisk. Styrlagen ges nu av

$$u(t) = -L(t) \cdot x(t)$$

med

$$L(t) = Q_2^{-1} B S(t)$$

### B. Hamilton-Jacobis metod

Inför funktionalen

$$V(x, t) = \min_u \left\{ \frac{1}{2} x^T(t_1) Q_0 x(t_1) + \frac{1}{2} \int_t^{t_1} (x^T(s) Q_1 x(s) + u^T(s) Q_2 u(s)) ds \right\}$$

På samma sätt som i A minimeras Hamiltonfunktionen. Funktionalen  $V(x, t)$  skall satisfiera Hamilton-Jacobi partiella differential-ekvation. För att lösa denna fås av randvillkoret ansatsen

$$V(x, t) = \frac{1}{2} x^T(t) S(t) x(t)$$

där  $S$  är en  $n \times n$  matris, som antages vara symmetrisk och positivt semidefinit. Genom att pröva ansatsen fås som villkor på matrisen  $S$  att den skall satisfiera differentialekvationen

$$\frac{dS}{dt} + A^T S + S A - S^T B Q_2^{-1} B^T S + Q_1 = 0$$

med randvillkoret givet vid sluttidpunkten  $t_1$

$$S(t_1) = Q_0$$

Denna matrisdifferentialekvation innehåller  $n^2$  icke-linjära differentialekvationer och är av s.k. Riccati-typ. Då  $S$  är symmetrisk reduceras antalet differentialekvationer från  $n^2$  till  $n(n+1)/2$ .

Då  $p = \text{grad}_{\underline{x}} V^T$  blir den optimala styrlagen

$$u(t) = -Q_2^{-1} B^T S(t)$$

eller

$$u(t) = -L(t) \cdot x(t)$$

### Det slutna optimala systemet.

Betrakta ett linjärt tidsinvariant dynamiskt system givet av ekvationen

$$\dot{x} = Ax + Bu$$

med förlustfunktionen

$$V(u) = \frac{1}{2} x^T Q_0 x + \frac{1}{2} \int_0^T (x^T Q_1 x + u^T Q_2 u) dt$$

Låt nu  $T \rightarrow \infty$  vilket innebär att vi erhåller ett stationärt värde på styrlagen  $u = -L \cdot x$ .

Det slutna systemet ges då av ekvationen

$$\dot{x} = (A - BL) \cdot x$$

Det förutsättes att samtliga tillståndsvariabler finns tillgängliga för återkopplingen. Uppgiften består nu i att undersöka det slutna systemets egenvärden då elementen i viktmatriserna i förlustfunktionen varieras. För ändamålet har skrivits ett program för beräkning av den optimala styrlagens stationära värde samt det slutna systemets egenvärden.

#### Program BUTTER

I ref.(1) finns två kompletta programuppsättningar för lösning av det linjär-kvadratiska optimeringsproblemet, dels med Euler-Lagranges metod, program LIOPCON och med Hamilton-Jacobis metod, program RKRICCE. Här har valts den förra lösningsmetoden och de i program LIOPCON ingående subrutinerna har direkt använts. För egenvärdesberäkningen har utnyttjats en subrutin, EIGUNS.

Ingångsstorheterna till program BUTTER är:

N - systemets ordning

NU - antalet insignalér

TIMEDIF - tiden mellan de ekvidistanta punkter i vilka S-matrisen beräknas.

ITER - ITER=0 betyder att fundamentalmatrisen beräknas för varje steg. ITER=1 betyder att fundamentalmatrisen beräknas endast i första steget. (Se subrutin RICCE)

EPS - För att erhålla det stationära värdet beräknas normen av skillnaden mellan två konsekutiva S-matriser. Då denna skillnad är mindre än EPS har det stationära värdet uppnåtts.

IMAX - Om inte S-matrisen konvergerat efter IMAX punkter avbryts beräkningen.

Programmet ger möjlighet att under samma körning beräkna det optimala systemet för olika värden på  $Q_0$ ,  $Q_1$ ,  $Q_2$  och EPS. Dock kan endast ett system köras åt gången. Utskrift sker av systemets parametrar, den beräknade S-matrisen, L-matrisen, matrisen ( $A-BL$ ) samt egenvärdena till denna. Se vidare listan.

### 3. SYSTEM MED EN IN SIGNAL

Exempel

Betrakta systemet  $\frac{dx}{dt} = \begin{bmatrix} 0 & 1 \\ 0 & 0 \end{bmatrix} x + \begin{bmatrix} 0 \\ 1 \end{bmatrix} u$  (Dubbelintegratorn)

Med förlustfunktionen:  $V(u) = \int_0^T (x^T Q_1 x + u^T Q_2 u) dt$

där  $Q_1 = \begin{bmatrix} q_{11} & 0 \\ 0 & q_{22} \end{bmatrix}$  och  $Q_2 = r$

Som lösning till Riccatiekvationen ansättes matrisen

$$S = \begin{bmatrix} s_{11} & s_{12} \\ s_{12} & s_{22} \end{bmatrix}$$

Stort värde på  $T \Rightarrow \frac{dS}{dt} = 0$ . Genom insättning i stationära Riccatiekvationen (SR) fås ett olinjärt ekvationssystem varur elementen i S-matrisen kan lösas.

$$s_{11} = \sqrt{q_{11}(2\sqrt{q_{11}r} + q_{22})}$$

$$s_{12} = \sqrt{q_{11}r}$$

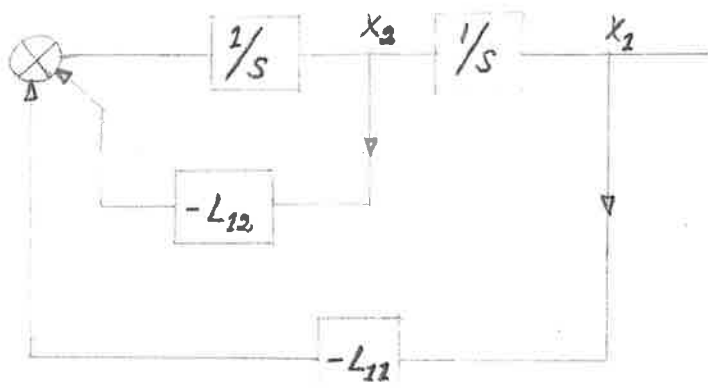
$$s_{22} = \sqrt{r(2\sqrt{q_{11}r} + q_{22})}$$

Det finns endast en positivt definit lösning till SR.

Återkopplingsmatrisen L blir

$$L = \left[ \sqrt{q_{11}r^{-1}}, \sqrt{r^{-1}(2q_{11}r + q_{22})} \right]$$

Det optimala systemet får då följande utseende



Det optimala systemet blir

$$\dot{x} = \begin{bmatrix} 0 & 1 \\ -\sqrt{\frac{q_{11}}{r}} & -\sqrt{\frac{2\sqrt{q_{11}r} + q_{22}}{r}} \end{bmatrix} x$$

Dess egenvärden ges av

$$\det(A - BL - sI) = s^2 + \sqrt{\frac{2\sqrt{q_{11}r} + q_{22}}{r}} s + \sqrt{\frac{q_{11}}{r}} = 0$$

Undersök nu hur det optimala systemets egenvärden varierar då parametrarna  $q_{11}$ ,  $q_{22}$  och  $r$  varieras.

a/ Sätt  $q_{11} = q_{22} = 1$ , variera  $r$  ( $r > 0$ )

$$s_{1,2} = -\sqrt{\frac{2\sqrt{r} + 1}{4r}} \pm \sqrt{\frac{1 - 2\sqrt{r}}{4r}} \quad \text{Se figur 1a.}$$

b/ Sätt  $q_{11} = 1$ ,  $q_{22} = 0$ , variera  $r$

$$s_{1,2} = -\sqrt{\frac{\sqrt{r}}{2r}} \pm j\sqrt{\frac{\sqrt{r}}{2r}} \quad \text{Se figur 1b.}$$

c/ Sätt  $q_{22} = r = 1$ , variera  $q_{11}$  ( $q_{11} \geq 0$ )

$$s_{1,2} = -\sqrt{\frac{2\sqrt{q_{11}} + 1}{2}} \pm \sqrt{\frac{1 - 2\sqrt{q_{11}}}{2}} \quad \text{Se figur 1c.}$$

d/ Sätt  $q_{11} = r = 1$ , variera  $q_{22}$  ( $q_{22} \geq 0$ )

$$s_{1,2} = -\sqrt{\frac{2 + q_{22}}{2}} \pm \sqrt{\frac{q_{22} - 2}{2}} \quad \text{Se figur 1d.}$$

e/ Sätt  $q_{11} = 0$ ,  $q_{22} = q_{22}$ , variera  $r$

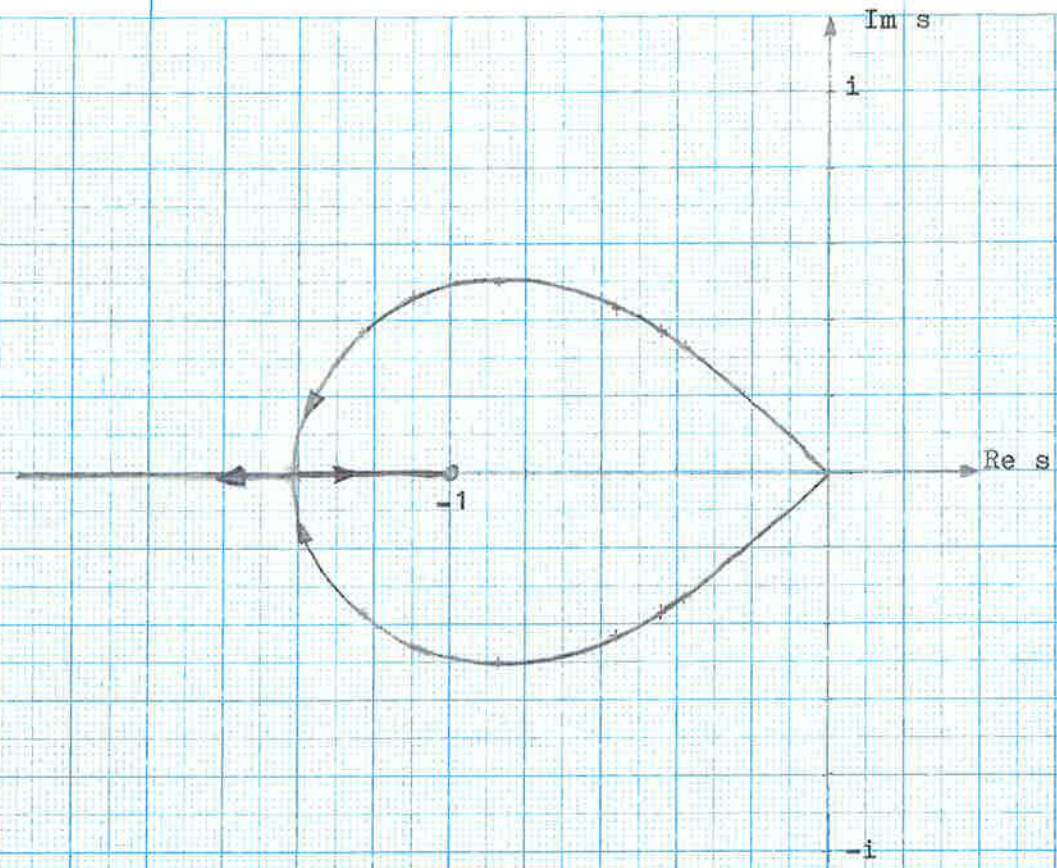
$$s_{1,2} = -\sqrt{\frac{q_{22}}{4r}} \pm \sqrt{\frac{q_{22}}{4r}}$$

dvs ett egenvärde i noll och ett längs negativa reella axeln.

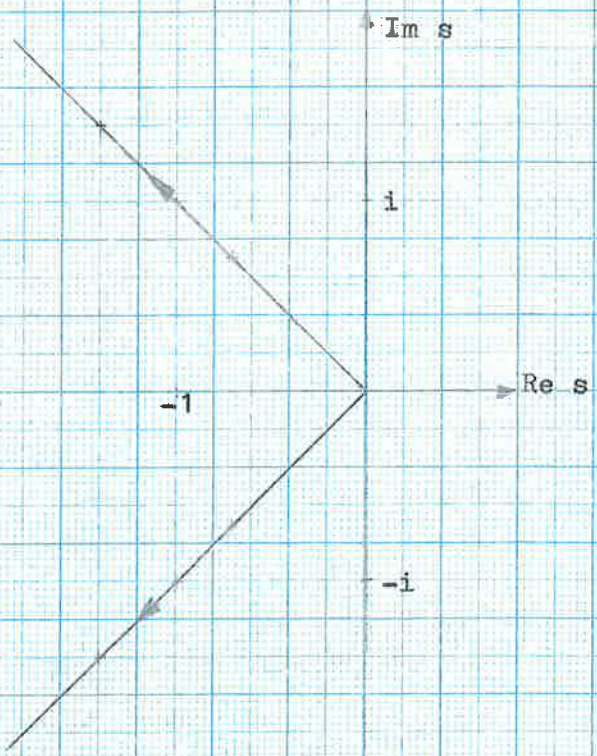
Styrlagen är således inte asymptotiskt stabil. Lösningen till SR blir för detta fall

$$S = \begin{bmatrix} 0 & 0 \\ 0 & \sqrt{rq_{22}} \end{bmatrix} \quad \text{positivt semidefinit}$$

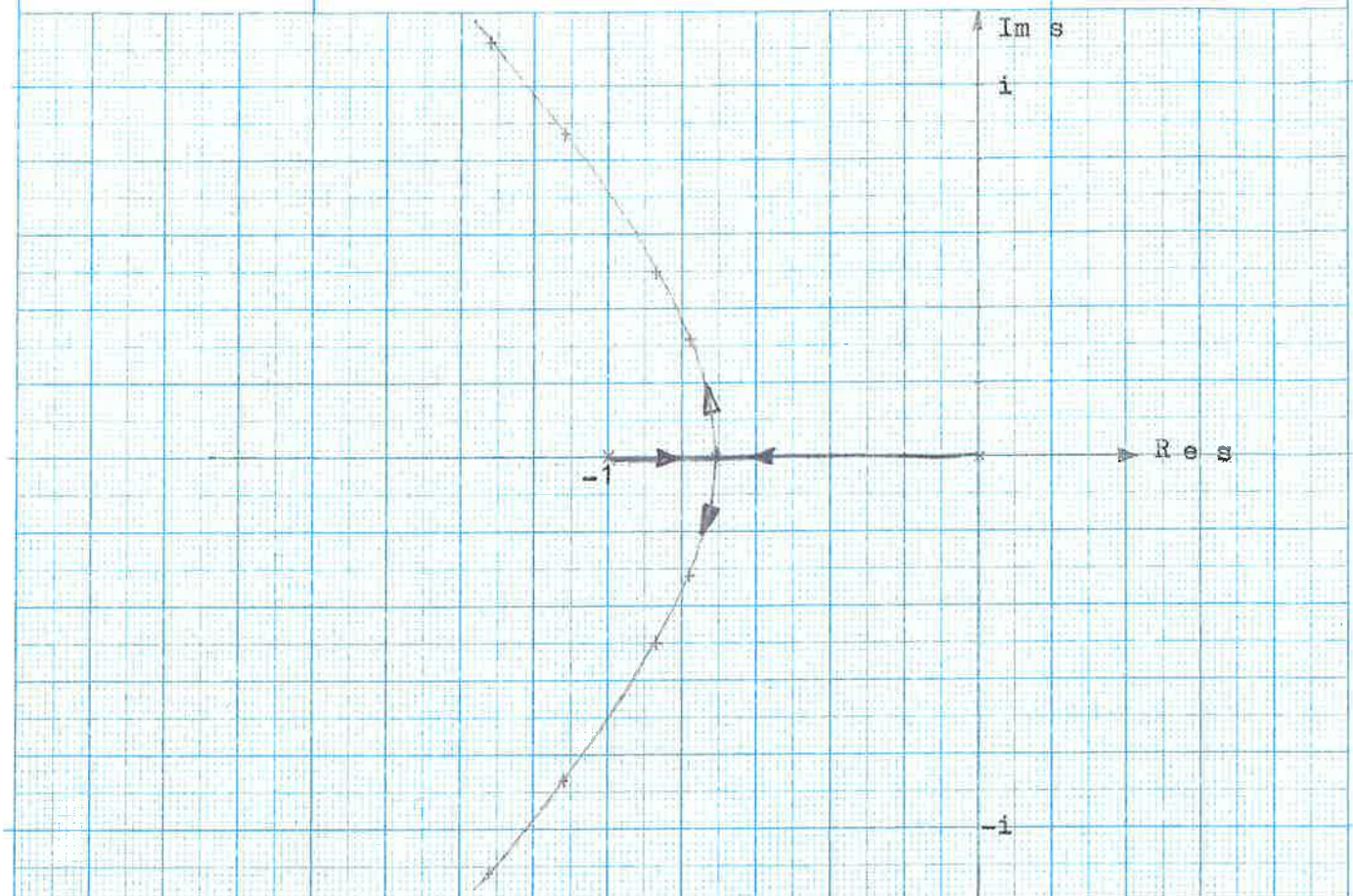
Rang  $(A \cdot Q_1) = 1$  dvs systemet är ej observerbart.



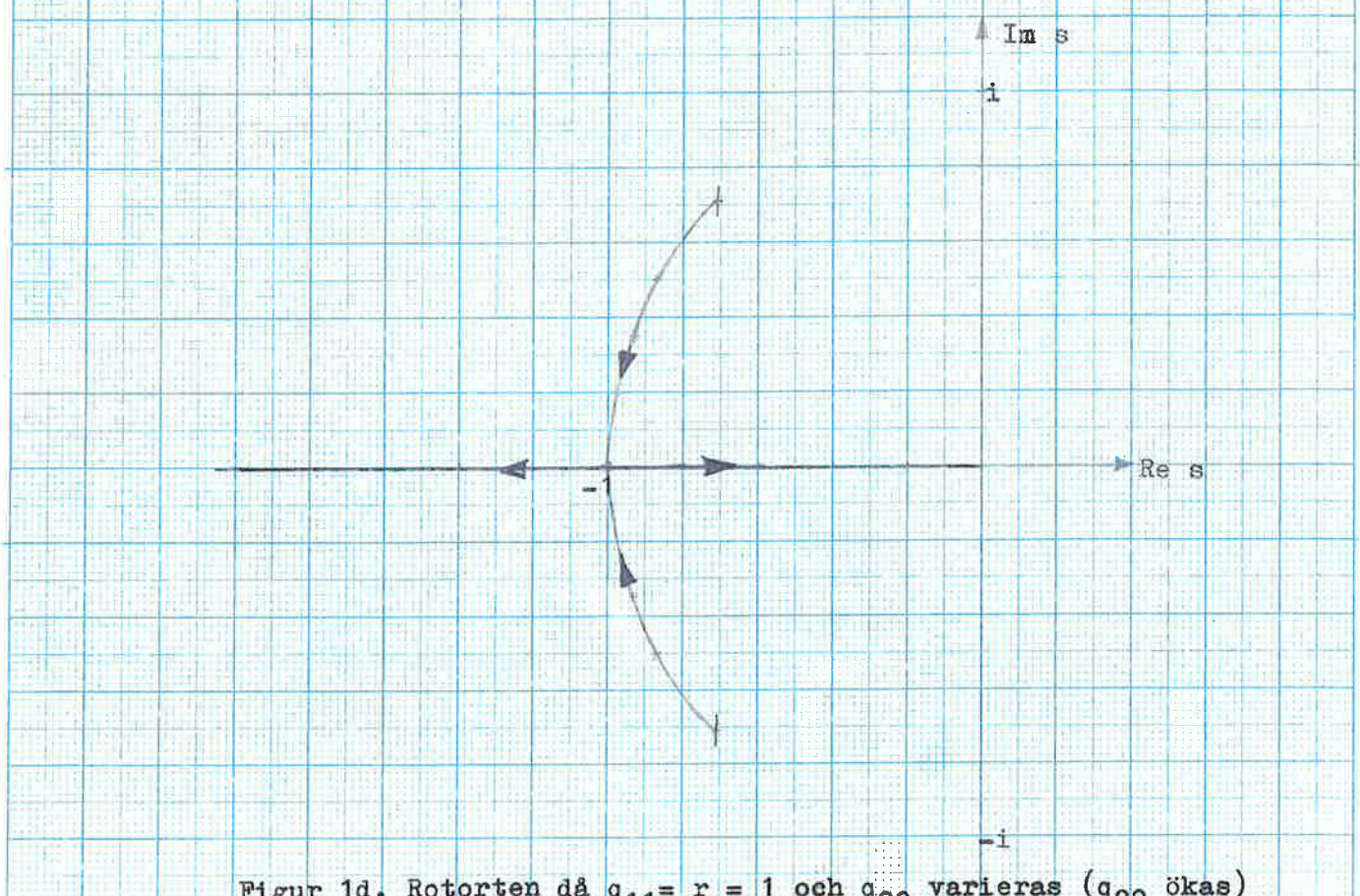
Figur 1a. Rotorten då  $q_{11} = q_{22} = 1$  och  $r$  varieras ( $r$  minskas).



Figur 1b. Rotorten då  $q_{11}=1$ ,  $q_{22}=0$  och  $r$  varieras ( $r$  minskas).



Figur 1c. Rotorten då  $q_{22} = r = 1$  och  $q_{11}$  varieras ( $q_{11}$  ökas).



Figur 1d. Rotorten då  $q_{11} = r = 1$  och  $q_{22}$  varieras ( $q_{22}$  ökas)

Något om observerbarhetens inverkan på styrlagen.

Betrakta systemet:  $\dot{x} = \begin{bmatrix} 0 & 1 \\ 1 & 0 \end{bmatrix} x + \begin{bmatrix} 0 \\ 1 \end{bmatrix} u$   
 $y = [1, -1] x$

Överföringsfunktionen:  $G(s) = \frac{1-s}{s^2-1}$

Välj som förlustfunktion:  $V(u) = \int_0^\infty (y^T y + u^T u) dt$

Matrisen A har egenvärdena +1 och -1, dvs det öppna systemet är instabilt.

Rang  $\begin{bmatrix} C \\ CA \end{bmatrix} = 1$ , dvs systemet är ej observerbart, och det icke-observerbara egenvärdet har positiv realdel. Med  $r=1$  erhålls följande lösningar till SR.

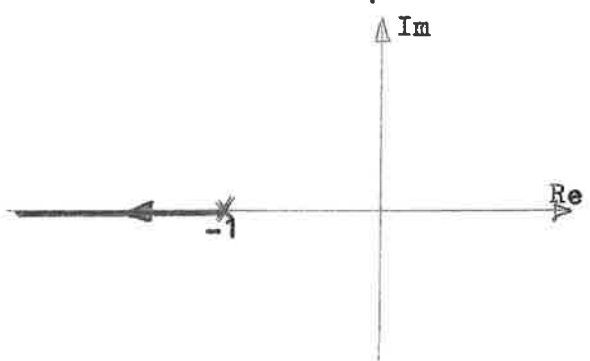
$$S_1 = \begin{bmatrix} 3 + \sqrt{2} & 1 + \sqrt{2} \\ 1 + \sqrt{2} & 1 + \sqrt{2} \end{bmatrix} \quad \text{positivt definit}$$

$$S_2 = \begin{bmatrix} \sqrt{2} - 1 & -\sqrt{2} + 1 \\ -\sqrt{2} + 1 & \sqrt{2} - 1 \end{bmatrix} \quad \text{positivt semidefinit}$$

Förlustfunktionen blir  $V(u) = \int_0^\infty (x_1 - x_2)^2 + u^2 dt$

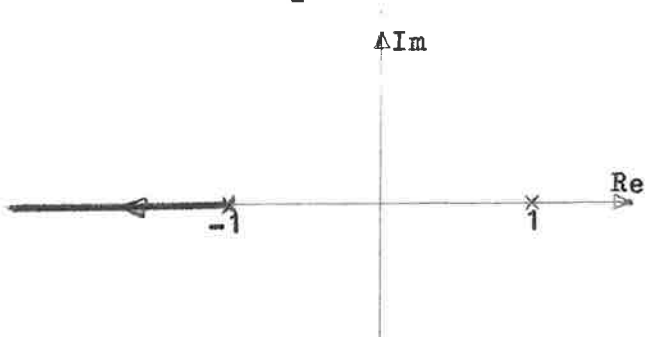
Med  $x_1 = x_2$  blir  $V(u)=0$  för  $u = 0$ . Detta motsvarar lösningen  $S_2$  till SR, och detta är alltså den optimala lösningen till problemet. Det slutna systemets egenvärden beräknas då  $r$  varierar.

Med lösningen  $S_1$  erhålls:



Ett egenvärde ligger kvar i -1.

Med lösningen  $S_2$  erhålls:



Ett egenvärde ligger kvar i +1.

Härav framgår att det optimala systemet, svarande mot lösningen  $S_2$  till SR, är instabilt.

Undersökning av det optimala systemets egenvärden då  $Q_2 \rightarrow 0$ .

Betrakta ett system med överföringsfunktionen

$$G(s) = \frac{b_m s^m + b_{m-1} s^{m-1} + \dots + b_1 s + b_0}{s^n + a_{n-1} s^{n-1} + \dots + a_1 s + a_0}$$

Systemet skrivet på kontrollerbar kanonisk form

$$\dot{x} = Ax + Bu$$

$$y = Cx$$

$$\text{där } A = \begin{bmatrix} 0 & 1 & . & . & . & . & 0 \\ 0 & 0 & 1 & . & . & . & 0 \\ . & & & 1 & & & . \\ . & & & & * & & . \\ . & & & & & * & . \\ -a_0 & * & * & * & * & * & -a_{n-1} \end{bmatrix} \quad B = \begin{bmatrix} 0 \\ 0 \\ . \\ . \\ . \\ 1 \end{bmatrix}$$

$$C = [b_0, b_1, \dots, b_m, 0, \dots, 0]$$

Välj som förlustfunktion  $V(u) = \int_0^\infty (y^T y + u^T u) dt$  och undersök egenvärdena till det optimala systemet  $A - BL$  då  $r \rightarrow 0$ .

Ref.(4) ger: Då  $r \rightarrow 0$  kommer m av det slutna systemets poler att gå till de m nollställena till  $G(s)$  i vänstra halvplanet (eller deras spegelbild med avseende på imaginära axeln, om några av nollställena är i högra halvplanet) och de andra  $n - m$  polerna kommer att konvergera till ett "Butterworth"-mönster med radien

$$\left( \frac{a_0^2 b_m^2}{b_0^2} + \frac{b_m^2}{r} \right)^{\frac{1}{2(n-m)}}$$

Enligt Kalman skall observerbarheten inte ha någon inverkan på resultatets giltighet. Med exempel skall här visas att så inte är fallet.

Som exempel har valts följande fyra överföringsfunktioner

$$G(s) = \frac{1}{s^6 + s^5 + 0.25s^4 - 0.5s^3 + 1.25s^2 - 0.5s - 2.5} = \frac{1}{N} \quad (A)$$

$$G(s) = \frac{1 - s^2}{N} \quad (B)$$

$$G(s) = \frac{1 - s + 0.5s^2}{N} \quad (C)$$

$$G(s) = \frac{1 + s + 0.5s^2}{N} \quad (D)$$

med polerna  $\pm 1$ ,  $-1 \pm i$ ,  $\frac{1}{2} \pm i$ , och nollställena (B)  $\pm 1$ , (C)  $1 \pm i$ , och (D)  $-1 \pm i$ .

Systemen skrivna på kontrollerbar kanonisk form.

$$A = \begin{bmatrix} 0 & 1 & 0 & 0 & 0 & 0 \\ 0 & 0 & 1 & 0 & 0 & 0 \\ 0 & 0 & 0 & 1 & 0 & 0 \\ 0 & 0 & 0 & 0 & 1 & 0 \\ 0 & 0 & 0 & 0 & 0 & 1 \\ 2.5 & 0.5 & -1.25 & 0.5 & -0.25 & -1.0 \end{bmatrix} \quad B = \begin{bmatrix} 0 \\ 0 \\ 0 \\ 0 \\ 0 \\ 1 \end{bmatrix}$$

$$C_A = [1 \ 0 \ 0 \ 0 \ 0 \ 0]$$

$$C_B = [1 \ 0 \ -1 \ 0 \ 0 \ 0]$$

$$C_C = [1 \ -1 \ 0.5 \ 0 \ 0 \ 0]$$

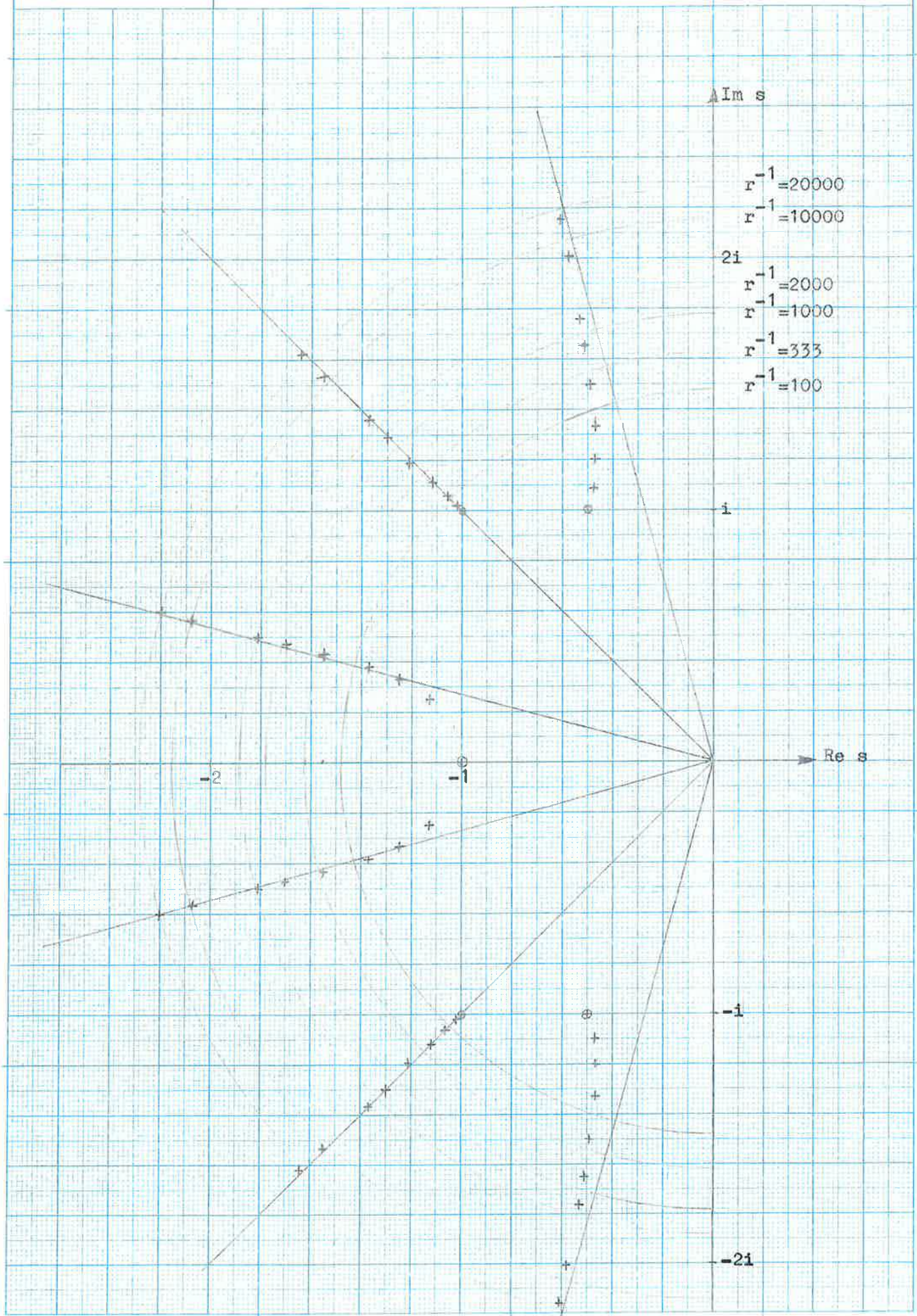
$$C_D = [1 \ 1 \ 0.5 \ 0 \ 0 \ 0]$$

Dessa system har körts med program BUTTER. Därvid observeras att förlustfunktionen innehåller termen  $y^T y$ , men  $y = Cx$  dvs  $Q_1 = C^T C$ .

Betrakta först systemen (A) och (C), som båda är observerbara. Resultatet framgår av figur 2 och 3. Då  $r \rightarrow \infty$ , vilket motsvaras av att förstärkningen i återkopplingsslingan går mot noll, är det slutna systemets egenvärden de samma som det öppna systemets egenvärden med negativ realdel. I detta fall är de  $-1$ ,  $-1$ ,  $-1 \pm i$ ,  $-1/2 \pm i$ . De räta linjerna är asymptoter till rötterna.

Figur 2.

$$G(s) = \frac{1}{N}$$

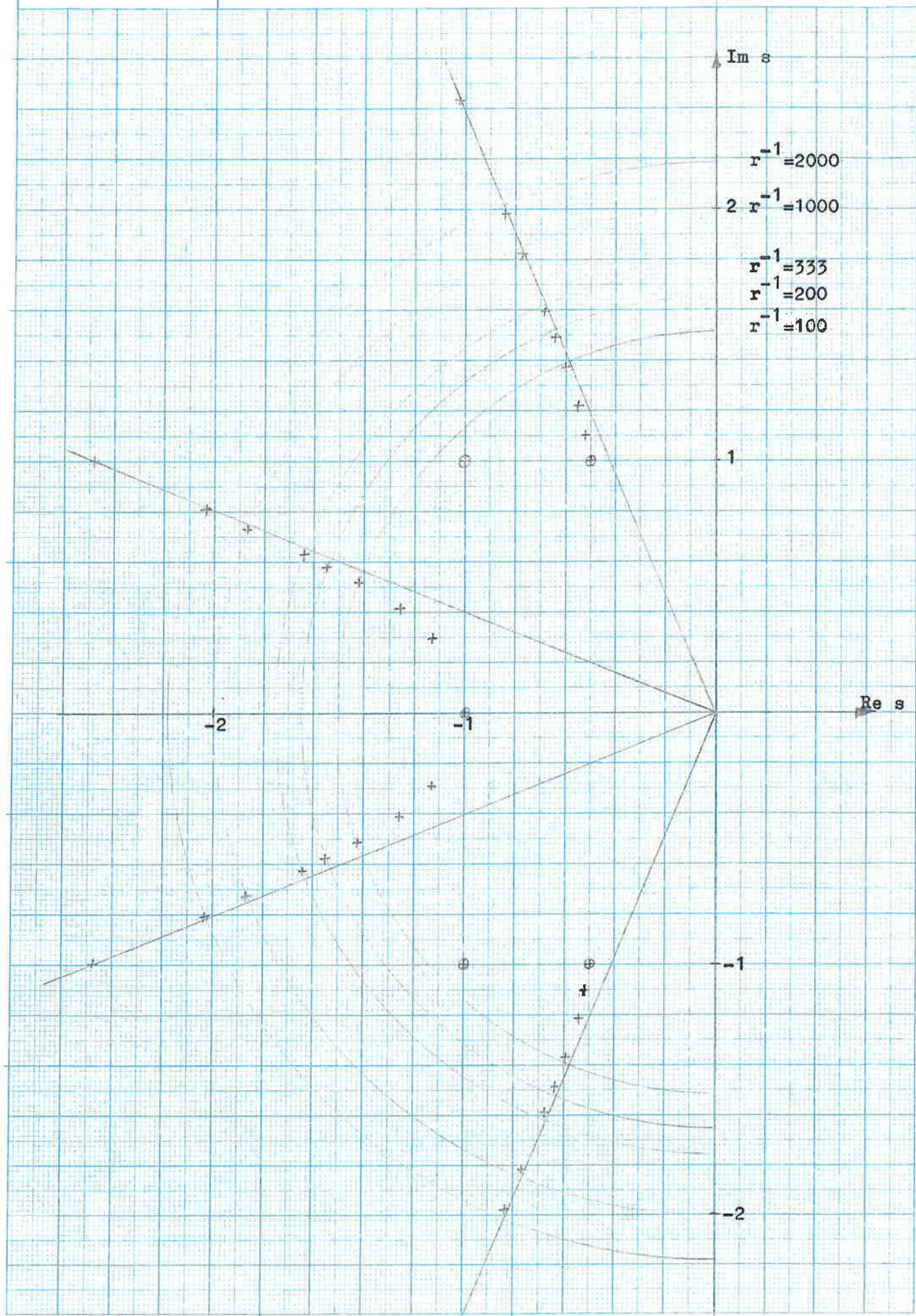


Figur 3.

Rötternas lägen då  $r \rightarrow 0$ .

$$G(s) = \frac{1 - s + 0.5s^2}{N}$$

15



$$\text{Cirklarna har radien } \left( |b_m| \sqrt{a_0^2 + r^{-1}} \right)^{\frac{1}{6-m}}$$

Överföringsfunktionerna för system (B) och (D) har faktorer gemensamma för täljare och nämnare. För båda systemen gäller rang  $\begin{bmatrix} C \\ \vdots \\ CA^{n-1} \end{bmatrix} = 4$ , dvs systemen är ej observerbara.

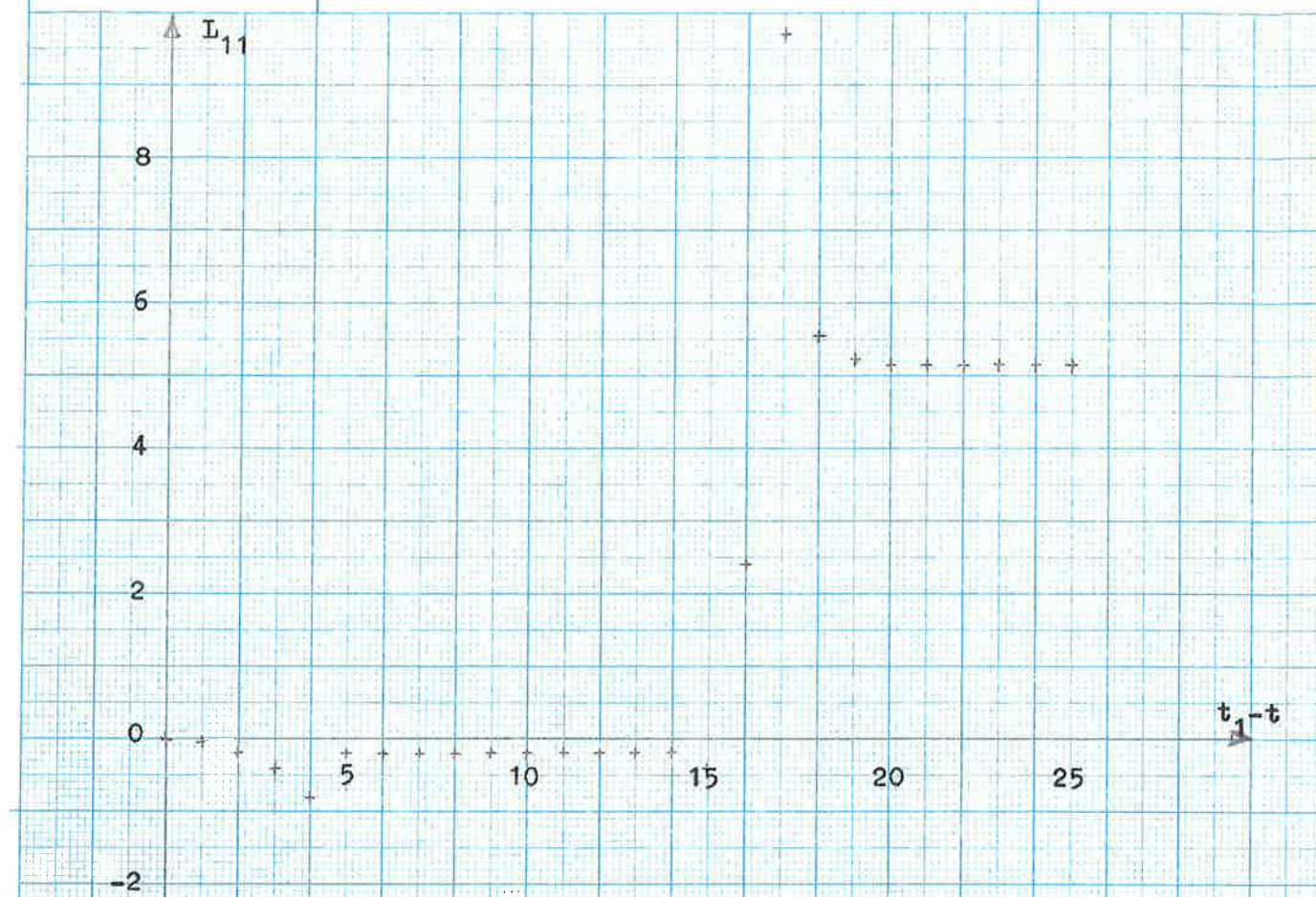
Tillstånden motsvarande egenvärdena  $(+1, -1)$  och  $(-1, \pm i)$  i system (B) resp. (D) är inte observerbara.

Dessa system har körts med program PLOTLOP som är en modifierad version av LIOPCON. Det ger möjlighet att plotta elementen i L-matrisen mot tidsdifferensen  $t_1 - t$ . Se figur 4. Härav framgår att för system (B) erhålls med startvärdet  $Q_0 = [0]$  två stationära värden på styrlagen. Först konvergerar L-matrisen (S-matrisen) mot ett värde motsvarande en positivt semidefinit lösning till SR. Detta är den optimala lösningen till problemet, men den är instabil, och på grund av numeriska avrundningsfel vid beräkningen kommer lösningen att konvergera mot ett stabilt värde som svarar mot en positivt definit lösning till SR. Denna ger emellertid ett större värde på förlustfunktionen.

Om man i stället använder ett  $Q_0$  som har full rang, dvs även de icke-observerbara tillstånden "straffas" vid sluttidpunkten, erhåller man inte den instabila lösningen. Tillståndsvariablerna antar snabbt höga värden och termen  $x^T(t_1) Q_0 x(t_1)$  kommer att dominera. Men här låter vi  $t_1 \rightarrow \infty$  varför denna tidpunkt aldrig uppnås.

För system (D) erhålls den stabila optimala lösningen direkt eftersom de icke-observerbara tillstånden är stabila.

Som framgår av figur 4 sker för system (B) övergången från den instabila till den stabila lösningen snabbt. Om man försöker erhålla styrlagen genom att lösa Riccatiekvationen med Runge-Kuttas metod (program RKRICCE) erhålls vid övergången alltför stora värden på elementen i S-matrisen beroende på att  $ds/dt$  blir för stor.



Figur 4a. Exempel på hur styrlagen konvergerar för system (B) med  $Q_0 = [0]$ .



Figur 4b. Samma exempel som i a men med  $Q_0 \neq [0]$ .

För system (B) erhålls egenvärdena svarande mot den instabila lösningen till SR om EPS ökas till 0.1. Se figur 5. Man erhåller som tidigare ett "Butterworth"-mönster, men ett egenvärde ligger kvar i +1. Det optimala systemet blir således instabilt. Om EPS minskas får man egenvärdena svarande mot den stabila lösningen. Resultatet härvid överensstämmer med Kalmans, dvs egenvärdet svarande mot nollstället till  $G(s)$  i +1 övergår i -1, men detta är inte det optimala systemet.

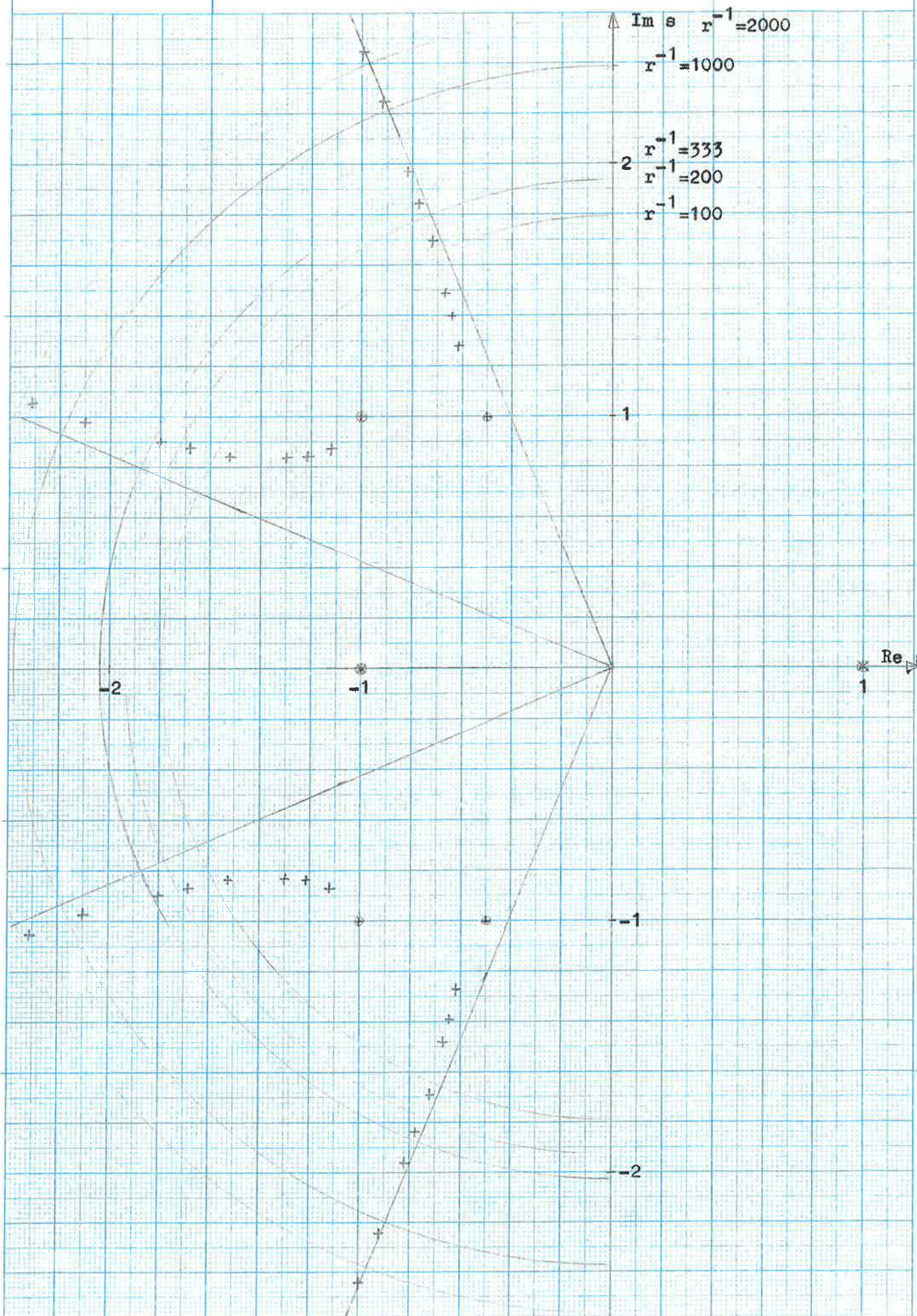
System (D) får samma utseende som (C). Se figur 3.

Figur 5.

Rötternas lägen då  $r \rightarrow 0$ .

$$G(s) = \frac{1 - s^2}{N}$$

19



#### 4. FLERVARIABLA SYSTEM

Ref. (6) ger en metod att uttrycka det optimala systemets karakteristiska polynom som en explicit funktion av elementen i viktmatrisen i förlustfunktionen, varefter konventionell rotortmetod kan användas för att lokalisera polerna. Det bör observeras att metoden inte ger något uttryck på styrlagen.

Betrakta ett tidsinvariant linjärt dynamiskt system

$$\begin{aligned}\dot{x} &= Ax + Bu \\ y &= Cx\end{aligned}\quad (4:1)$$

$$\text{Välj som förlustfunktion } V(u) = \int_0^T (x^T C^T Q C x + u^T u) dt \quad (4:2)$$

där  $Q$  är en positivt semidefinit diagonalmatris.

Enligt tidigare blir de kanoniska ekvationerna

$$\begin{bmatrix} \dot{x} \\ \dot{p} \end{bmatrix} = \begin{bmatrix} A & -BB^T \\ -C^T Q C & -A^T \end{bmatrix} \begin{bmatrix} x \\ p \end{bmatrix} = A_c \begin{bmatrix} x \\ p \end{bmatrix} \quad (4:3)$$

där  $A_c$  är en  $2n \times 2n$  matris.

Karakteristiska ekvationen för det optimala systemet ges av

$$|sI - A_c| = 0 = \prod_{i=1}^n (s - \alpha_i) \quad (4:4)$$

Lösningen till kanoniska ekvationen,  $S$ -matrisen, är ingen enkel funktion av elementen i  $Q$ . Men de  $2n$  egenvärdena till  $A_c$  innehåller egenvärdena till det optimala systemet  $A-BL$  och dess spegelbild kring imaginära axeln i  $s$ -planet. Antag nu att systemet beskrivet av  $A$ ,  $B$  och  $C$  är fullständigt observerbart och kontrollerbart. Detta medför att det optimala systemet är stabilt, varför egenvärdena med negativ realdel är egenvärden till optimala systemet.

Karakteristiska ekvationen till matrisen  $A_c$  kan skrivas på formen

$$0 = |sI - A_c| = \Delta(s) \cdot \Delta(-s) = \bar{\Delta}(s) \cdot \det \left[ (sI + A^T) - C^T Q C \frac{\Theta(s)}{\bar{\Delta}(s)} BB^T \right] \quad (4:5)$$

$$\text{där } \bar{\Delta}(s) = (sI - A) \text{ och } \Theta(s) = \text{adj}(sI - A)$$

Det kan visas att för determinanten av en summa av matriser gäller en identitet som för två andra ordningens matriser blir

$$\begin{aligned} \det(N + M) &= \det \begin{bmatrix} n_{11} + m_{11} & n_{12} + m_{12} \\ n_{21} + m_{21} & n_{22} + m_{22} \end{bmatrix} = \\ &= |N| + \begin{vmatrix} n_{11} & n_{12} \\ m_{21} & m_{22} \end{vmatrix} + \begin{vmatrix} m_{11} & m_{12} \\ n_{21} & n_{22} \end{vmatrix} + |M| \quad (4:6) \end{aligned}$$

För två  $n$ :te ordningens matriser  $N$  och  $M$  får man  $2^n$  determinanter som består av 1) alla kombinationer med insättning av rader från  $|M|$  i  $|N|$  2)  $|N|$  3)  $|M|$ .

Genom att använda denna identitet på (4:5) erhålls

$$0 = \Delta(s) \Delta(-s) + (-1)^n \sum_{i=1}^{2(n-1)} k_i N_i(s) N_i(-s)$$

där  $N_i(s)$  är polynom i  $s$  och  $k_i$  innehåller  $q_{ii}$  element eller en produkt av  $q_{ii}$  element.

Detta uttryck ger den karakteristiska ekvationen till det optimala systemet och dess spegelbild kring imaginära axeln, som explicit funktion av elementen i Q-matrisen. Det är skrivet på en form som ger möjlighet att använda rotortmetod då något  $q_{ii}$  element varieras.

#### Asymptotiska egenskaper hos det optimala systemet.

Om ett enda diagonalelement  $q_{ii}$  i Q-matrisen varieras och de andra hålls konstanta kan karakteristiska ekvationen uttryckas på formen

$$0 = |sI - A_C| = 1 + \frac{q_{ii} k N(s) N(-s)}{D(s) D(-s)} \quad (4:8)$$

där  $k$  är en konstant och  $N(s), N(-s)$  är polynomen i (4:7) och  $D(s)D(-s)$  är den del av karakteristiska ekvationen som inte är funktion av  $q_{ii}$ . Om alla diagonalelement utom  $q_{ii}$  är noll blir  $D(s) = \bar{\Delta}(s)$ .

Antag att gradtalen av polynomen  $D(s)$  och  $N(s)$  är  $n$  resp.  $m$ . Då något  $q_{ii}$  element varieras kommer  $2m$  av de  $2n$  rötterna till  $D(s)D(-s)$  att sluta i nollställena till  $N(s)N(-s)$  för stora värden på  $q_{ii}$ . De återstående  $2(n-m)$  rötterna kan approximeras med

$$\Delta(s) \Delta(-s) = k \prod_{i=1}^{n-m} \left( \frac{s}{z_i} + 1 \right) \left( \frac{-s}{\bar{z}_i} + 1 \right)$$

där  $k$  är en konstant och  $z_i$  är rötternas värden.

Om  $\left| \frac{S}{z_i} \right| \gg 1$  kommer rötterna att ligga på en cirkel kring origo.

Om  $(n-m)$  är jämnt ges asymptotvinklarna till rötterna av

$$\Theta = \frac{(2c+1) 180}{2(n-m)} \quad c = 0, 1, 2, \dots$$

Om  $(n-m)$  är udda ges asymptotvinklarna av

$$\Theta = \frac{(2c+1) 360}{2(n-m)} \quad c = 0, 1, 2, \dots$$

För stora värden på  $q_{ii}$  kommer rötterna till det optimala systemet att ligga på en halvcirkel kring origo i vänstra halvplanet. Funktioner av denna typ kallas Butterworth funktioner.

### Exempel

Betrakta systemet

$$\dot{x} = \begin{bmatrix} 0 & 1 \\ 1 & 0 \end{bmatrix} x + \begin{bmatrix} 1 & 1 \\ 0 & 1 \end{bmatrix} u$$

$$y = \begin{bmatrix} 1 & 0 \\ 0 & 1 \end{bmatrix} x$$

med förlustfunktionen definierad enligt (4:2)

$$\tilde{\Delta}(s) = |sI - A| = s^2 - 1$$

$$\Theta(s) = \begin{bmatrix} s & 1 \\ 1 & s \end{bmatrix}$$

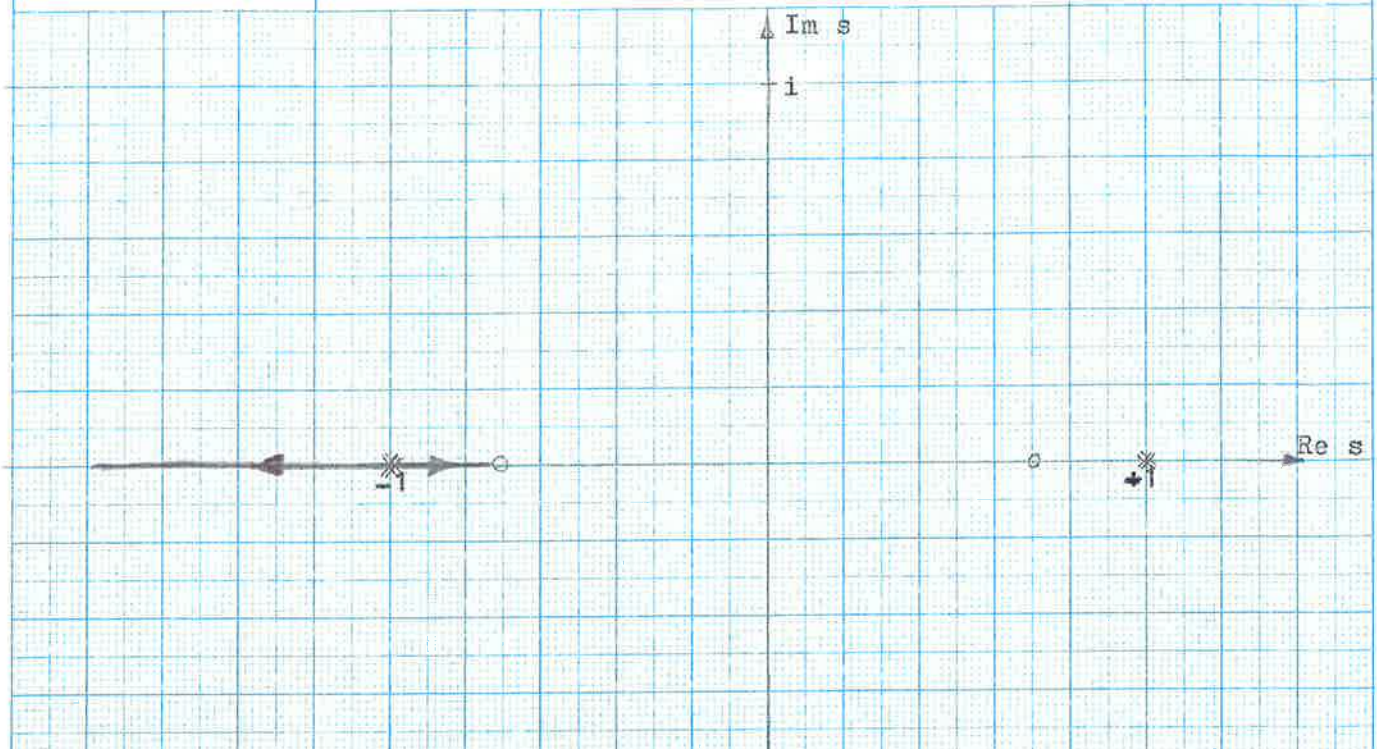
Insättning i ekvation (4:5) och tillämpning av (4:6) ger

$$0 = (s^2 - 1)^2 - q_{11}(2s^2 - 1) - q_{22}(s^2 - 2) + q_{11}q_{22}$$

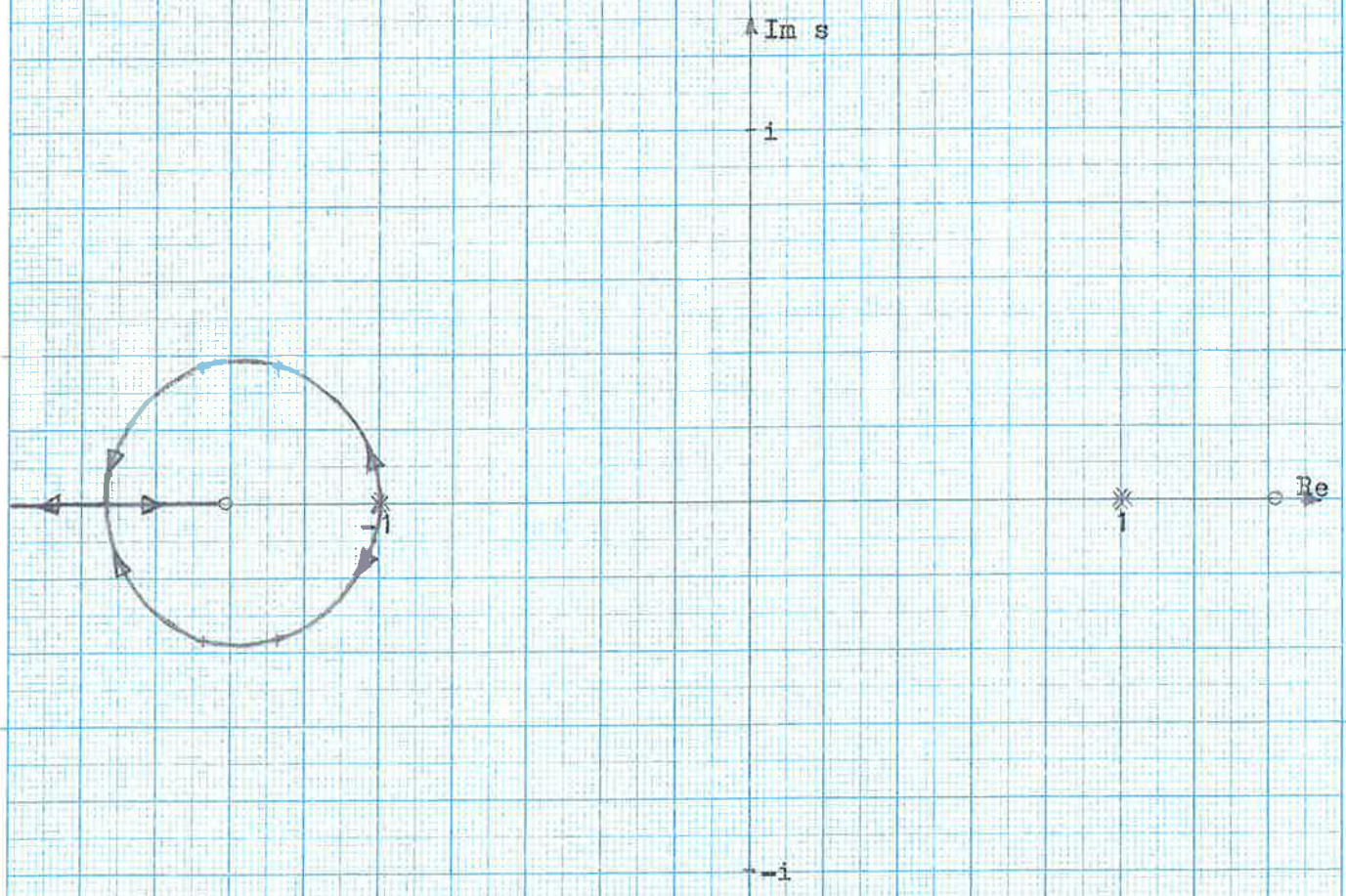
Rotorten för denna ekvation med  $q_{11}$  ( $q_{22}=0$ ) och  $q_{22}$  ( $q_{11}=0$ ) som parametrar är inritad i figur 6.

### Beräkning av optimala flervariabla system.

Som nämnts erhåller man inget uttryck på styrlagen med den beskrivna metoden. Det är ej heller enkelt att konstruera något program, som genomför de algebraiska manipulationerna för något godtyckligt system, varför metoden endast omnämnes här.



Figur 6a. Rotorten med  $q_{11}$  som parameter ( $q_{22}=0$ ).



Figur 6b. Rotorten med  $q_{22}$  som parameter ( $q_{11}=0$ ).

Flervariabla system har dock undersökts varvid samma metod som tidigare använts, dvs den optimala styrlagen beräknas och det optimala systemet erhålls.

Betrakta ett system definierat av följande matriser

$$A = \begin{bmatrix} 1 & 2 & -3 \\ -4 & 5 & -0.6 \\ 7 & 8 & -0.9 \end{bmatrix} \quad B = \begin{bmatrix} 0.1 & 0 & 2 \\ 0 & 10 & 0 \\ 0 & 0 & 100 \end{bmatrix} \quad C = I$$

Med förlustfunktionen enligt (4:2)

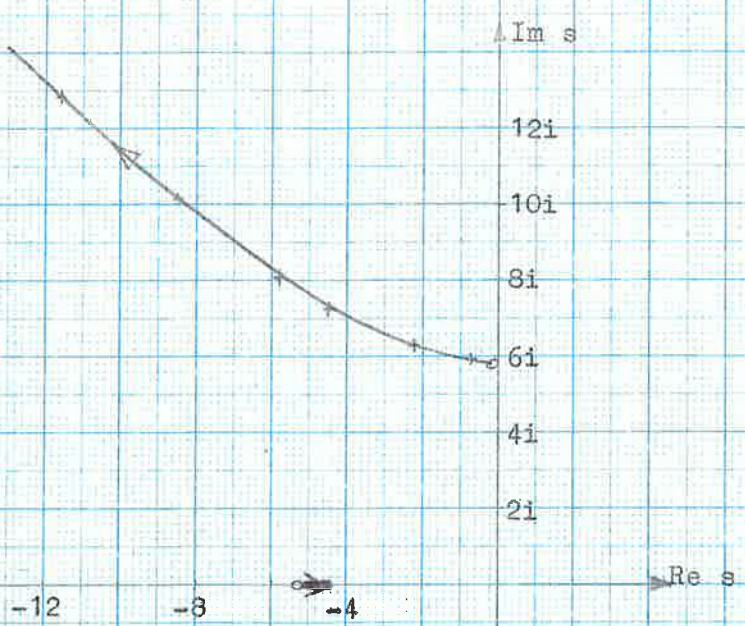
Egen-värdena till A är  $5.3, -0.124 \pm i\cdot 5.89$ , dvs systemet är instabil. Sök nu en återkopplingsmatris sådan att systemet är stabilt och stegsvaret har god dämpning. I figur 7 är rotorten inritad för variation av vart och ett av de tre  $q_{ii}$  elementen när de andra är noll. Av figurerna framgår att för små värden på parametrarna  $q_{ii}$  är egenvärdena till slutna systemet lika med egenvärdena till A med negativ realdel. Detta överensstämmer med den tidigare beskrivna metoden ty  $D(s)$  är här karakteristiska polynomet till matrisen A. Vidare framgår det att vissa grenar slutar för stora värden på  $q_{ii}$  i punkter som skulle motsvara nollställen till  $N(s)$ . Med  $q_{33}=0.125$  erhålls de komplexa rötterna  $-3.06 \pm i1.92$  samt roten  $-34.6$ . Ett tämligen bra dämpat system erhålls således med  $Q = \text{diag.}(0, 0, 0.125)$ .

Vid körsättning av detta system med program BUTTER visade det sig att för stora värden på  $q_{ii}$  elementen går matrisen  $\sum_{11}(t:t_1) + \sum_{12}(t:t_1)Q_0$  inte att invertera då tidsdifferensen  $\Delta t=1.0$  som tidigare kunnat användas. Vid en minskning av  $\Delta t$  till 0.1 kan dock alla önskade värden erhållas.

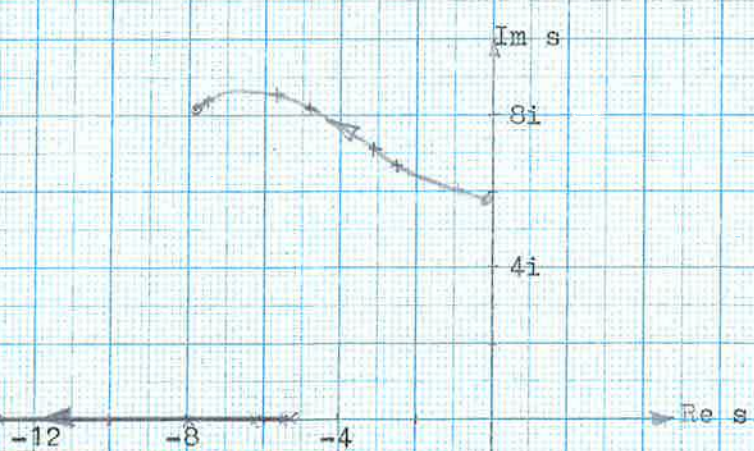
Rotorten för det optimala systemet  
då  $q_{ii}$  elementen varieras.

25

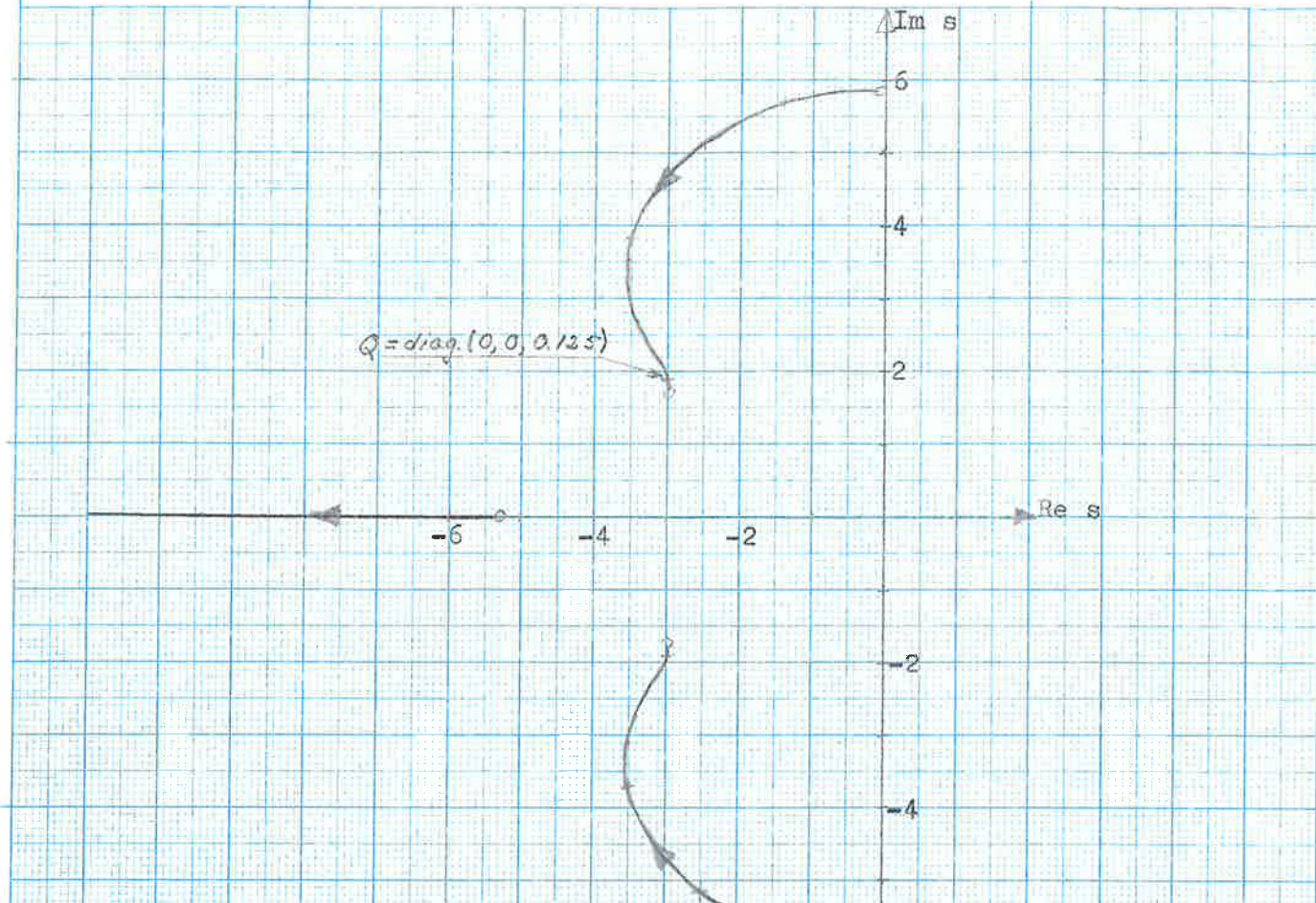
Figur 7.



Figur 7a.  $q_{11}$  varieras.



Figur 7b.  $q_{22}$  varieras.



Figur 7c.  $q_{33}$  varieras.

Modellföljningsystem för ett B-26 flygplan.

Tillståndsekvationen för denna metod av modellföljning är

$$\begin{bmatrix} \dot{x}_m(t) \\ \dot{x}_p(t) \end{bmatrix} = \begin{bmatrix} M & [0] \\ [0] & A_p \end{bmatrix} \begin{bmatrix} x_m(t) \\ x_p(t) \end{bmatrix} + \begin{bmatrix} [0] \\ B_p \end{bmatrix} u_p(t)$$

där index m och p står för modell resp. plan och L är en n:te ordningens matris som beskriver modellen. Ekvationen kan skrivas mera kompakt som

$$\dot{x}(t) = Ax(t) + Bu_p(t)$$

Genom att definiera utgångsmatrisen som

$$C = [I \mid -I]$$

en  $n \times 2n$  matris, kommer skillnaden mellan modellens tillståndsvektor  $x_m(t)$  och flygplanets  $x_p(t)$  att minimeras med förlustfunktionen definierad enligt (4:2).

Numeriska värden för flygplanet är

$$A = \begin{bmatrix} 0 & 1 & 0 & 0 \\ 0 & -2.93 & -4.75 & 0.78 \\ 0.086 & 0 & -0.11 & -1.0 \\ 0 & -0.042 & 2.59 & -0.39 \end{bmatrix} \quad B_p = \begin{bmatrix} 0 & 0 \\ 0 & -3.91 \\ 0.035 & 0 \\ -2.53 & 0.31 \end{bmatrix}$$

Modellen definieras som

$$M = \begin{bmatrix} 0 & 1 & 0 & 0 \\ 0 & -1 & -73.14 & 3.18 \\ 0.086 & 0 & -0.11 & -1.0 \\ 0.0086 & 0.086 & 8.95 & -0.49 \end{bmatrix}$$

Q-matrisen definieras som tidigare.

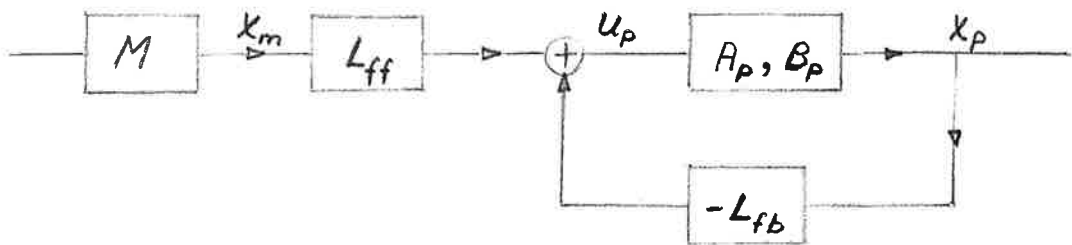
Det optimala systemet blir

$$\begin{bmatrix} \dot{x}_m(t) \\ \dot{x}_p(t) \end{bmatrix} = \begin{bmatrix} M & [0] \\ -B_p L_{ff} & A_p - B_p L_{fb} \end{bmatrix} \begin{bmatrix} x_m(t) \\ x_p(t) \end{bmatrix}$$

där återkopplingsmatrisen L har uppdelats enligt

$$L = [L_{ff} \mid L_{fb}]$$

där index ff står för feedforward och fb feedback.



Blockschema för hela systemet.

Meningen med denna modellföljningsmetod är att förbättra svaret från styrobjektet genom att införa en återkoppling sådan att utgången från systemet följer signaler från modellen. Om amplituden på egenvärdena till det återkopplade systemet  $A_p - B_p L_{fb}$  är avsevärt större än modellens kommer svaret från styrobjektet att följa modellsvaret. Men det återkopplade systemet är oberoende av modellen varför en optimal styrlag,  $L_{fb}$ , till detta, som ger de önskade egenvärdena, kan beräknas. Det härigenom erhållna värdet på Q-matrisen används sedan för att beräkna den totala styrlagen L.

Egenvärdena till modellmatrisen M är  $-1.065, 0.00275, -0.288 \pm i2.94$ . Egenvärdena till det återkopplade systemet, då elementen i Q-matrisen varierar finns inritade i figur 8. Först varieras Q som  $\varrho I$  varigenom ett lämpligt värde på  $\varrho$  kan erhållas. Därefter varieras vart och ett  $q_{ij}$  element med de övriga konstanta.

Man måste ta hänsyn till vissa praktiska begränsningar för förstärkningen i återkopplingsslingan. Således måste återkopplingsmatrisen,  $L_{fb}$ , vara mindre än

$$L_{fbmax} = \begin{bmatrix} 5 & 0.5 & 5 & 5 \\ 5 & 2 & 20 & 1 \end{bmatrix}$$

Med  $Q = \varrho I$  erhålls för  $\varrho \geq 3$  reella egenvärden och då  $\varrho$  ökas ytterligare kommer två egenvärden att förflyttas åt vänster längs negativa reella axeln, medan de två övriga går mot approx. -1.

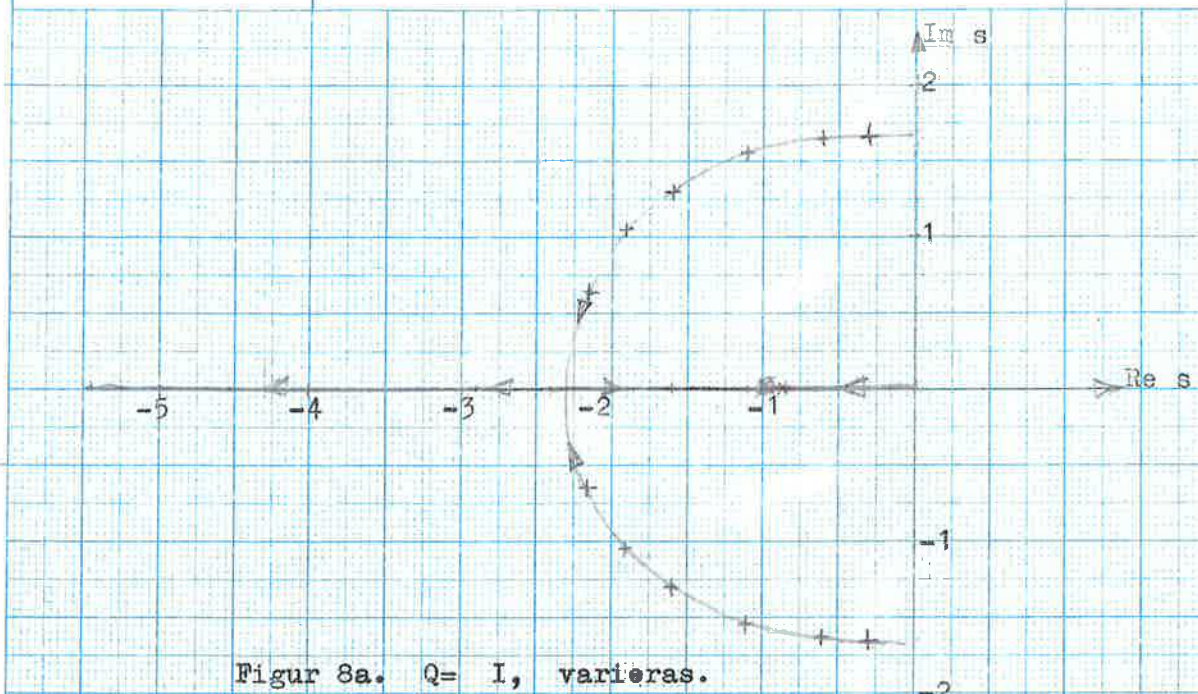
Det är med de två förstnämnda som systemets egenskaper kan ändras, ty de båda andras variation är obetydlig. I tabell 1 finns värden på L-matrisen samt egenvärdena till  $A_p - B_p^L p_{fb}$  för  $\beta = 5$ . Härav framgår att  $L_{fbmax}$  ej överskrides samt att det till absolutbelopp minsta av de båda påverkbara egenvärdena,  $\alpha_{min}$ , överstiger det största modellegenvärdet med en faktor 2. Transientsvaret (se figur 9) visar emellertid att systemets följsamhet inte är helt tillfredsställande med  $Q=5I$ .

En förbättring erhålls om man varierar vart och ett  $q_{ii}$  element medan de övriga sättes lika med 5. Vidare bör förhållandet mellan  $\alpha_{min}$  och det största modellegenvärdet ökas till minst 3, vilket ger  $\alpha_{min} = 10$ . Värdet på varje  $q_{ii}$  för att erhålla detta finns i tabell 2. Härvid är det lämpligast att använda det minsta  $q_{ii}$  som ger önskat resultat, och i detta fall är systemet känsligast för variation i  $q_{22}$  eller  $q_{44}$ .  $Q=\text{diag.}(5, 6.4, 5, 5)$  skulle i så fall ge bäst resultat, men en ökning i  $q_{22}$  skulle direkt påverka elementet  $L_{fb22}$ , som redan ligger nära sin övre gräns. I stället har  $Q=\text{diag.}(5, 5, 5, 20)$  använts och för detta värde har den totala styrlagen beräknats. Se tabell 1. Av figur 9 fram-går att transientsvaret nu kan anses tillfredsställande.

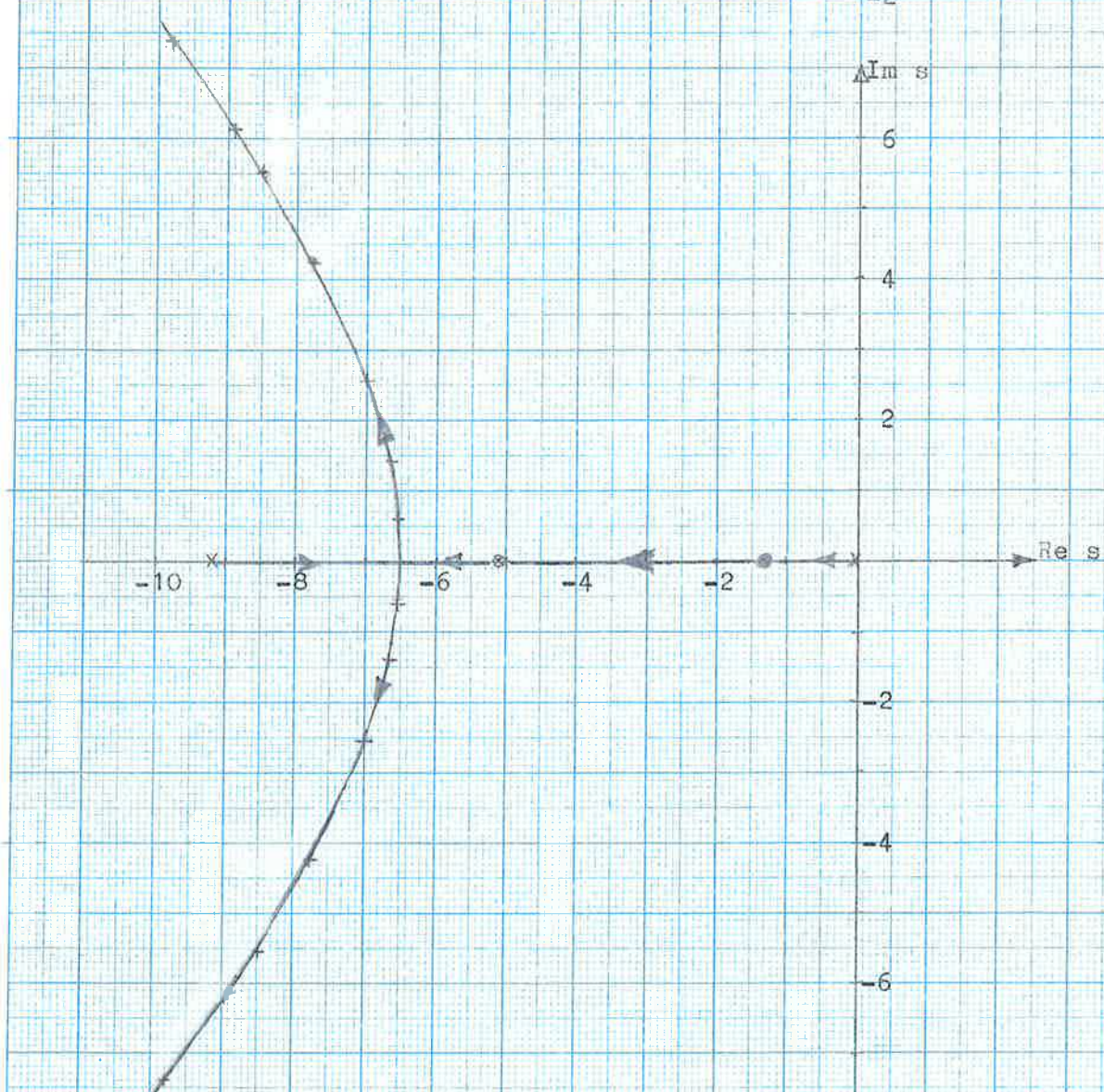
Rotorten för det optima systemet  
då  $q_{ii}$  elementen varieras.

30

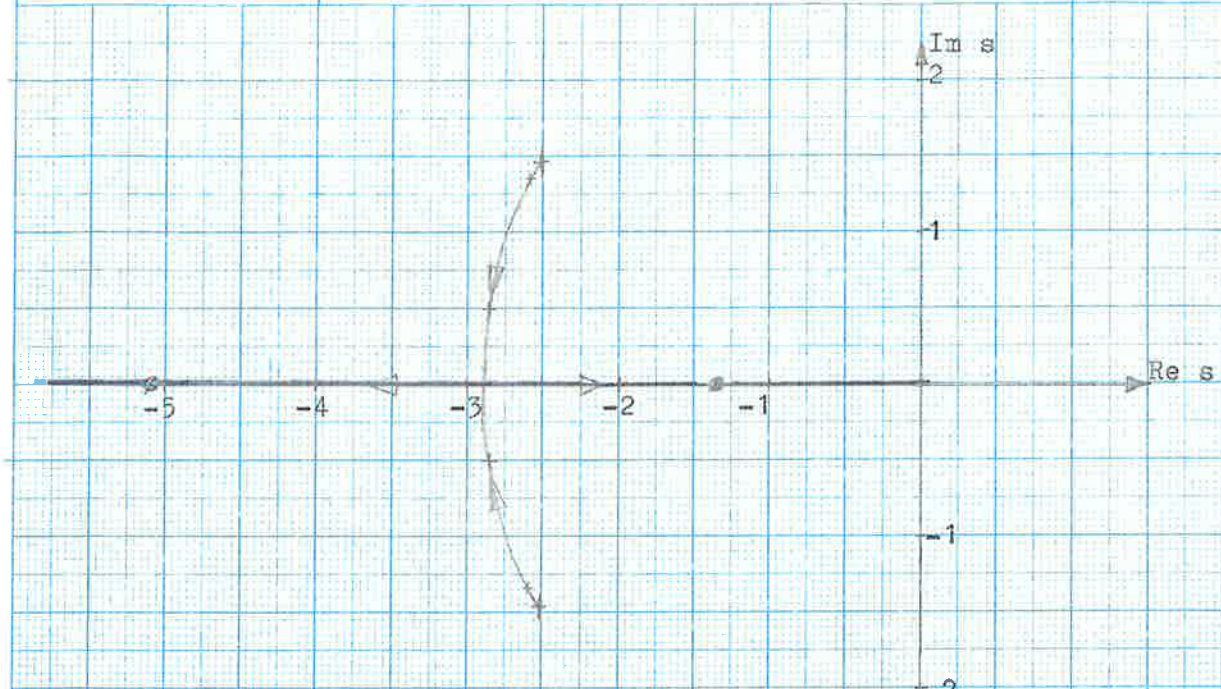
Figur 8.



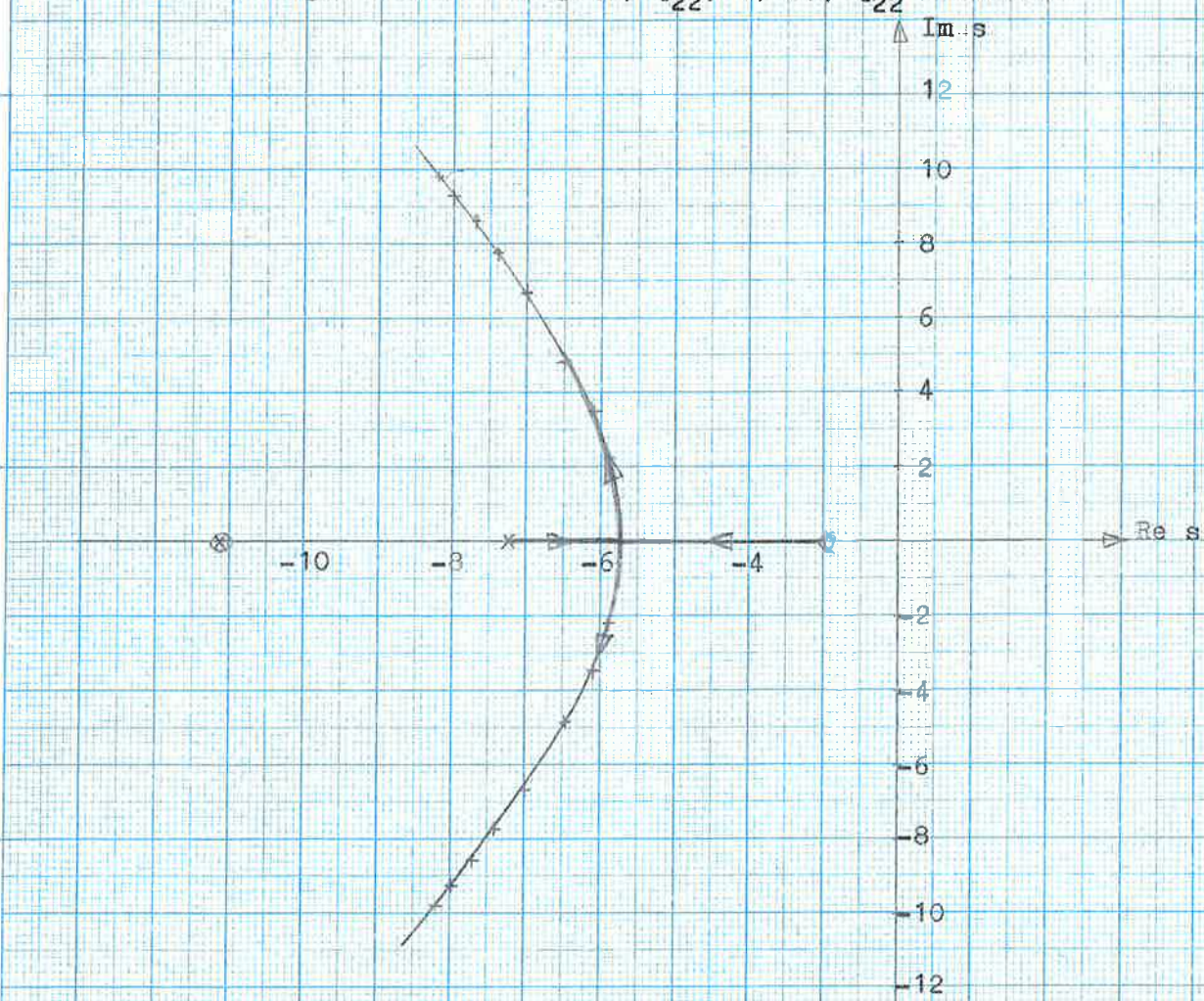
Figur 8a.  $Q = I$ , varieras.



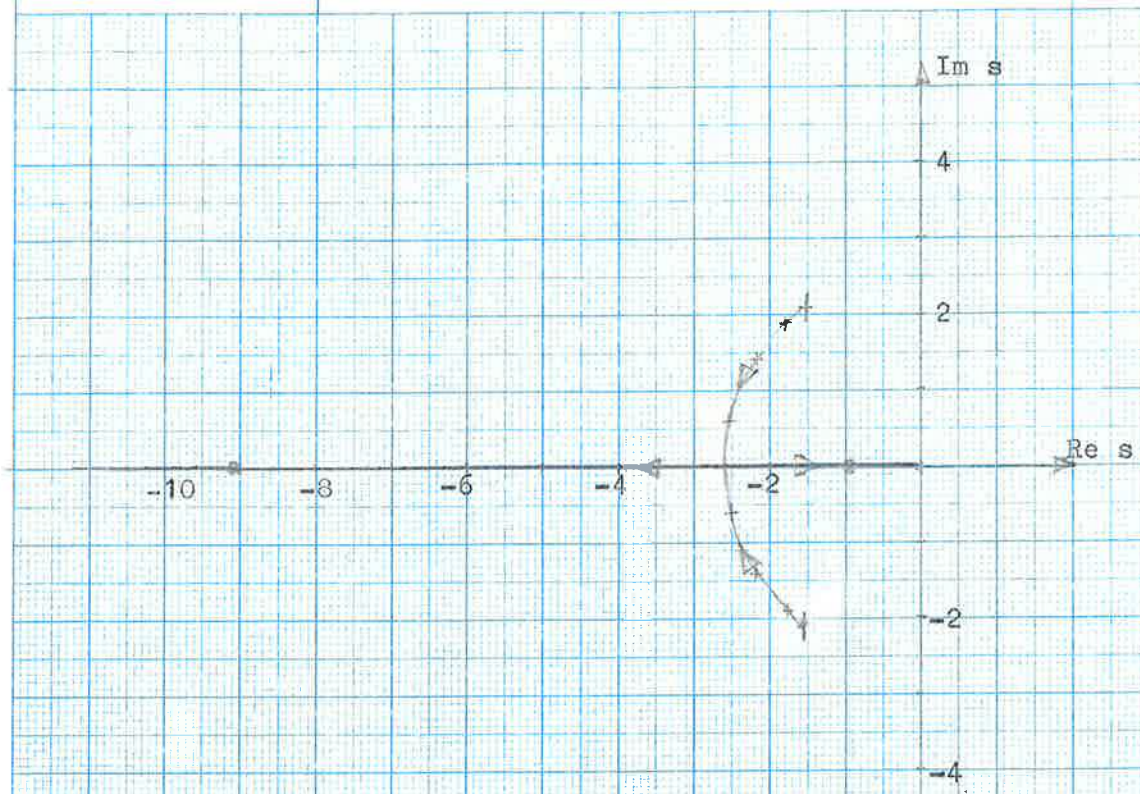
Figur 8b.  $Q = \text{diag.}(q_{11}, 5, 5, 5)$ ,  $q_{11}$  varieras



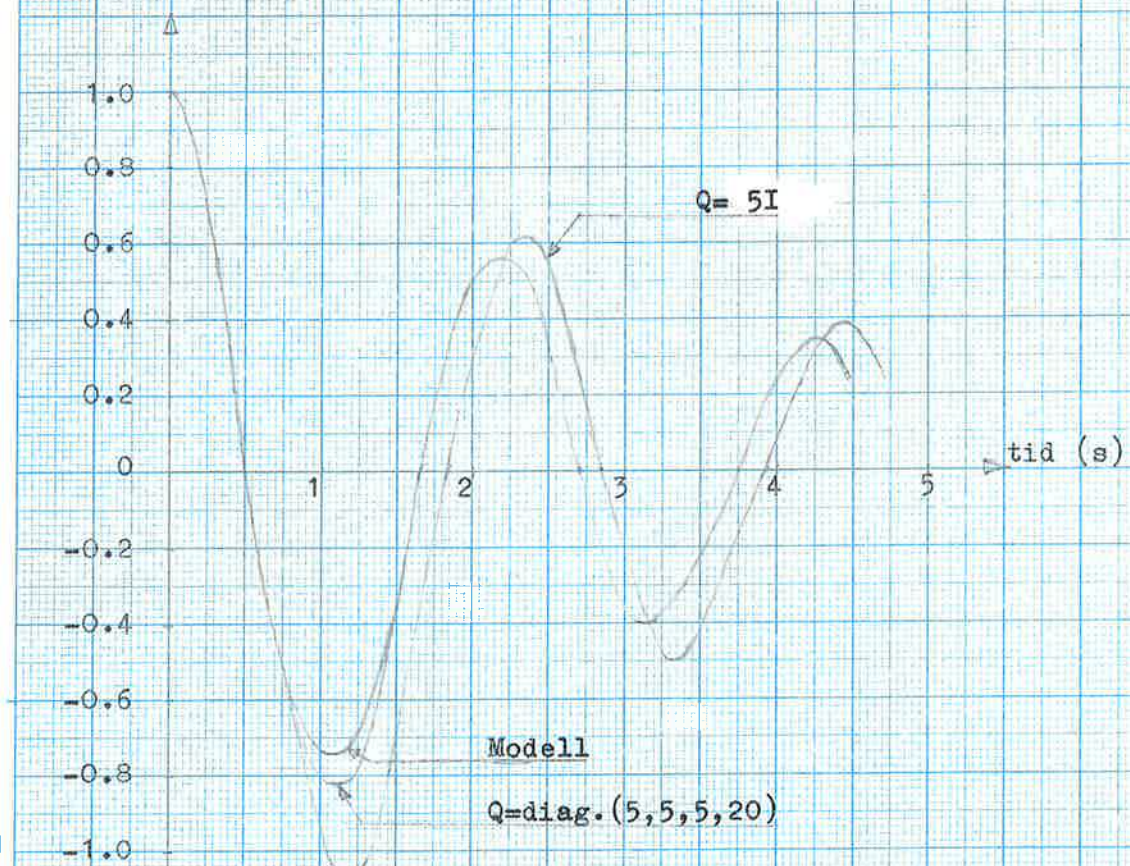
Figur 8c.  $Q = \text{diag.}(5, q_{22}, 5, 5)$ ,  $q_{22}$  varieras.



Figur 8d.  $Q = \text{diag.}(5, 5, q_{33}, 5)$ ,  $q_{33}$  varieras.



Figur 8e.  $Q = \text{diag.}(5, 5, 5, q_{44})$ ,  $q_{44}$  varieras.



514 A4  
SIS 73 25 01

(TULLBERG  
RSI  
KLIPPAN)

Nr 1624

Figur 9. Stegsvaret.

TABELL 1

$Q$	$L_{ff}$	$L_{fb}$	Egenvärden till $A_p - B_p L_{fb}$
5,5,5,5	0.104 0.377 -3.63 4.16 2.035 2.211 -15.3 2.59	-2.53 -0.185 1.58 -2.34 -2.21 -1.83 0.70 -0.01	-0.99, -1.3, -5.13, -9.14
5,5,5,20	0.101 0.344 -2.15 5.61 2.045 2.172 -1.54 2.42	-0.201 -0.185 1.42 -4.42 -2.23 -1.83 0.16 -0.26	-0.908, -0.66, -9.09, -11.2

TABELL 2

$q_{ii}$	Värde på $q_{ii}$ för $ \alpha_{min} =10$	$\alpha_{min}$
$q_{11}$	640	$-8.5 \pm 15.3$
$q_{22}$	6.4	-10
$q_{33}$	422	$-7.6 \pm 16.4$
$q_{44}$	16	-10

PROGRAM BUTTER

C COMPUTES THE STADY-STATE VALUE OF THE OPTIMAL CONTROL LAW  
C OF CONTINUOUS LINEAR DYNAMIC SYSTEMS WITH QUADRATIC LOSS.  
C BY CALLING EIGUNS THE EIGENVALUES OF THE CLOSED-LOOP  
C SYSTEM MATRIX(A-BL) ARE COMPUTED.

C N-NUMBER OF STATES(MAX 10).  
C NU-NUMBER OF IN SIGNALS(MAX 10).  
C TIMEDIF-TIME DIFFERENCE BETWEEN THE POINTS.  
C ITER-ITER=0 MEANS THAT THE FUNDAMENTAL MATRIX WILL BE COMPUTED  
C FOR EACH STEP, ITER=1 MEANS THAT THE FUNDAMENTAL MATRIX IS COMPU-  
C TED ONLY FOR THE FIRST STEP AND THEN USED IN THE OTHER STEPS.  
C IMAX-MAX. NUMBER OF POINTS IN WHICH THE S-MATRIX  
C IS COMPUTED IF IT HAS NOT CONVERGED.  
C EPS-A TOLERANCE FOR THE NORM OF THE DIFFERENCE BETWEEN  
C TWO CONSEQUENT S-MATRICES FOR ACCEPTANCE OF THE STATIONARY  
C VALUE.  
C NR-IF NR .GT.0, A NEW EXAMPLE IS EXECUTED. IF NR .LE.0  
C THERE ARE NO MORE DATA TO BE EXECUTED  
C NEWEPS-NEWEPS=0 MEANS THAT THE SAME VALUE OF EPS AS IN THE PRECEDING  
C EXAMPLE IS USED. EPS=1 MEANS THAT IN THE PRESENT EXAMPLE IS A NEW  
C VALUE OF EPS USED.  
C NEWQ0,NEWQ1,NEWQ2-DITO FOR THE MATRICES Q0,Q1,Q2.

C SUBROUTINE REQUIRED  
C RICCE  
C MEXP7T  
C GJRV  
C NORM  
C EIGUNS

C  
DIMENSION A(10,10),B(10,10),Q0(10,10),Q1(10,10),Q2(10,10)  
DIMENSION S(10,10),UL(10,10),C(10,10),SG(10,10),ST(10,10)  
DIMENSION BL(10,10),ABL(10,10),EIGR(10),EIGI(10)

C  
READ 1000,N,NU,IMAX,ITER,TIMEDIF  
1000 FORMAT(4I3,F10.5)  
READ 1001,((A(I,J),J=1,N),I=1,N)  
READ 1001,((B(I,J),J=1,NU),I=1,N)  
1001 FORMAT(4E20.10,  
PRINT 1023  
1023 FORMAT(30H1 PRINTOUTS FROM PROGRAM BUTTER,/  
PRINT 1002  
1002 FORMAT(14H THE SYSTEM IS,/  
PRINT 1003  
1003 FORMAT(9H MATRIX A,/  
DO 2 K=1,N  
2 PRINT 1004,(A(K,J),J=1,N)  
1004 FORMAT(6E20.10,  
PRINT 1005  
1005 FORMAT(/,9H MATRIX B,/  
DO 4 K=1,N  
4 PRINT 1004,(B(K,J),J=1,NU)

C  
PRINT 1011,TIMEDIF  
1011 FORMAT(/,36H TIME DIFFERENCE BETWEEN THE POINTS=,F10.5,/  
IF(ITER) 14,12,14  
12 PRINT 1012  
1012 FORMAT(48H THE FUNDAMENTAL MATRIX IS COMPUTED AT EACH STEP,/  
GO TO 16

```

14 PRINT 1013
1013 FORMAT(54H THE FUNDAMENTAL MATRIX IS COMPUTED ONLY AT FIRST STEP)
16 CONTINUE
C
    READ 2002, NR,NEWEPS,NEWQ0,NEWQ1,NEWQ2
2002 FORMAT(5I1)
    IF(NR) 200,200,210
210 CONTINUE
    PRINT 900
900 FORMAT(1H1)
C
    IF(NEWEPS) 212,212,211
211 READ 2004,EPS
2004 FORMAT(E20.10)
    PRINT 2003,EPS
2003 FORMAT(/,33H THE TOLERANCE FOR CONVERGENCE IS,E20.10,/)

212 CONTINUE
C
    IF(NEWQ0) 216,216,215
215 READ 1001,((Q0(I,J),J=1,N),I=1,N)
    PRINT 1006
1006 FORMAT(/,10H MATRIX Q0,/)

DO 6 K=1,N
6 PRINT 1004,(Q0(K,J),J=1,N)
216 CONTINUE
C
    IF(NEWQ1) 219,219,218
218 READ 1001,((Q1(I,J),J=1,N),I=1,N)
    PRINT 1007
1007 FORMAT(/,10H MATRIX Q1,/)

DO 8 K=1,N
8 PRINT 1004,(Q1(K,J),J=1,N)
219 CONTINUE
C
    IF(NEWQ2) 221,221,220
220 READ 1001,((Q2(I,J),J=1,NU),I=1,NU)
    PRINT 1040
1040 FORMAT(/,10H MATRIX Q2,/)

DO 225 K=1,NU
225 PRINT 1004,(Q2(K,J),J=1,NU)
221 CONTINUE
C
    DO 20 I=1,NU
    DO 20 J=1,NU
20 UL(I,J)=Q2(I,J)
    CALL GJRV(UL,NU,1.0E-008,IERR,10)
    IF(IERR+1) 23,22,23
22 PRINT 1017
1017 FORMAT(//,39H THE MATRIX Q2 IS NOT POSITIVE DEFINITE)
    GO TO 118
23 DO 25 I=1,NU
    DO 25 J=1,N
    R=0.
    DO 24 K=1,NU
24 R=R+UL(I,K)*B(J,K)
    25 C(I,J)=R
    DO 27 I=1,NU
    DO 27 J=1,N
    R=0.
    DO 26 K=1,N
26 R=R+C(I,K)*Q0(K,J)
    27 UL(I,J)=R

```

```

      DO 28 I=1,N
      DO 28 J=1,N
 28 SG(I,J)=00(I,J)
 29 ICOUNT=0
C
C      START THE LOOP
 30 CONTINUE
      ICOUNT=ICOUNT+1
      TD=TIMEDIF*FLOAT(ICOUNT)
      IF(ITER-1) 36,40,36
 36 CONTINUE
C
C      CALL RICCE(A,B,00,01,02,S,N,NU,10,10,TD,IERR)
C
      IF(IERR+1) 51,38,51
 38 PRINT 1019
 1019 FORMAT(/,33H AN INVERSION HAS FAILED IN RICCE)
      GO TO 118
C
C      ITERATION
C
 40 IF(ICOUNT-1) 46,42,46
 42 CONTINUE
C
C      CALL RICCE(A,B,SG,01,02,S,N,NU,10,10,TD,IERR)
C
      IF(IERR+1) 51,44,51
 44 PRINT 1019
      PRINT 1020
 1020 FORMAT(/,50H THE PROBLEM IS IMPOSSIBLE TO SOLVE WITH ITERATION)
      GO TO 118
 46 CONTINUE
C
C      CALL ITERATE(A,B,SG,01,02,S,N,NU,10,10,TD,IERR)
C
      IF(IERR+1) 51,50,51
 50 PRINT 1019
      GO TO 118
 51 CONTINUE
      DO 52 I=1,N
      DO 52 J=1,N
 52 ST(I,J)=SG(I,J)-S(I,J)
 53 CALL NORM(ST,N,10,P)
      IF(P-EPS) 60,60,54
 54 CONTINUE
      DO 55 I=1,N
      DO 55 J=1,N
 55 SG(I,J)=S(I,J)
 56 CONTINUE
      IF(ICOUNT-IMAX, 30,57,57
 57 PRINT 1041
 1041 FORMAT(/,31H THE MATRIX S HAS NOT CONVERGED)
      GO TO 118
 60 PRINT 1021
 1021 FORMAT(/,18H COMPUTED S-MATRIX,/)

      DO 62 K=1,N
 62 PRINT 1004,(S(K,J),J=1,N)
      PRINT 1022
 1022 FORMAT(/,26H COMPUTED L-MATRIX(U=-L*X),/)
      DO 66 I=1,NU
      DO 66 J=1,N
      R=0.

```

```

DO 64 K=1,N
64 R=R+C(I,K)*S(K,J)
66 UL(I,J)=R
DO 68 K=1,NU
68 PRINT 1004,(UL(K,J),J=1,N)
101 CONTINUE
DO 104 I=1,N
DO 104 J=1,N
T=0.
DO 102 K=1,NU
102 T=T+B(I,K)*UL(K,J)
104 BL(I,J)=T
DO 106 I=1,N
DO 106 J=1,N
106 ABL(I,J)=A(I,J)-BL(I,J)
PRINT 1050
1050 FORMAT(/,13H MATRIX(A-BL),/)
DO 108 K=1,N
108 PRINT 1004,(ABL(K,J),J=1,N)

C
C
      CALL EIGUNS(ABL,EIGR,EIGI,N,10,0,IERR)
      IF(IERR-1) 114,110,112
110 PRINT 1052
1052 FORMAT(/,34H THE TRIDIAGONALISATION HAS FAILED)
      GO TO 118
112 PRINT 1054
1054 FORMAT(/,36H THE MULLER METHOD FAILS TO CONVERGE)
      GO TO 118
114 PRINT 1056
1056 FORMAT(/,31H COMPUTED EIGENVALUES OF (A-BL),/)
115 PRINT 1057
1057 FORMAT(39H      REAL PART           IMAGINARY PART,/)
116 PRINT 1058,(EIGR(I),EIGI(I),I=1,N)
1058 FORMAT(2E20.10)

C
      118 CONTINUE
      GO TO 16
C
200 CONTINUE
CALL EXIT
END

```

```

SUBROUTINE RICCE(A,B,QQ,Q1,Q2,S,N,NU,IA,IB,TD,IERR)
C THE SUBROUTINE COMPUTES THE SOLUTION TO THE RICATTIEQUATION
C DS/DT=(AT)*S+S*A-S*B*(Q2-1)*(BT)*S+Q1 WITH S(T1)=QQ,
C BY USING THE EXPONENTIAL SERIES FOR THE CANONICAL EQUATION.
C AUTHOR,K.MORTENSSON 05/10-67.
C
C A,QQ,Q1,S=NXN-MATRICES,S(T) IS THE SOLUTION.
C B=NXNU-MATRIX.
C Q2=NUXNU-MATRIX.
C IA AND IB ARE THE DIMENSION PARAMETERS.
C TD IS THE DIFFERENCE T1-T.
C IERR IS RETURNED=-1 IF ANY INVERSION HAS FAILED.
C MAXIMUM ORDER OF THE SYSTEM=10.
C THE ROUTINE HAS AN ENTRY POINT CALLED ITERATE.
C WHEN THE ROUTINE IS CALLED WITH ITERATE, WHICH REQUIRES THAT
C A PREVIOUS CALL TO RICCE HAS BEEN MADE, USE IS MADE OF THE IN THE
C FIRST CALL COMPUTED FUNDAMENTALMATRIX.Q0 IS THEN SET EQUAL TO
C THE PREVIOUSLY COMPUTED S OUTSIDE THE ROUTINE BEFORE CALLING.
C
C SUBROUTINE REQUIRED
C     MEXP7T
C     NORM
C     GJRV
C
C DIMENSION A(IA,IA),B(IA,IB),QQ(IA,IA),Q1(IA,IA),Q2(IB,IB),S(IA,IA)
C DIMENSION C(10,10),EA(20,20),EB(20,20)
C
C COMPUTATION OF EULERMATRIX
C
DO 10 I=1,N
DO 10 J=1,N
EA(I,J)=-A(I,J)*TD
C(I,J)=Q2(I,J)
NPI=N+I
NPJ=N+J
EA(NPI,J)=Q1(I,J)*TD
10 EA(NPI,NPJ)=A(J,I)*TD
C
CALL GJRV(C,NU,1.0E-008,IERR,10)
IF(IERR+1) 15,60,15
15 DO 20 I=1,N
DO 20 J=1,N
R=0.0
DO 21 L=1,NU
DO 21 M=1,NU
21 R=R+B(I,L)*C(L,M)*B(J,M)
NPJ=N+J
20 EA(I,NPJ)=R*TD
C
COMPUTATION OF EB=EXP(EA)
C
M=N+N
III=0
CALL MEXP7T(EA,EB,M,20,III)
C
GO TO 29
C
ENTRY ITERATE
C
29 DO 30 I=1,N
DO 30 J=1,N

```

```
NPI=N+I  
R=0.0  
DO 31 K=1,N  
NPK=N+K  
31 R=R+EB(NPI,NPK)*Q00(K,J)  
30 C(I,J)=EB(NPI,J)+R  
  
C  
DO 40 I=1,N  
DO 40 J=1,N  
R=0.0  
DO 41 K=1,N  
NPK=N+K  
41 R=R+EB(I,NPK)*Q00(K,J)  
40 EA(I,J)=EB(I,J)+R  
  
C  
CALL GJRV(EA,N,1.0E-008,IERR,20)  
IF(IERR+1) 45,50,45  
45 DO 50 I=1,N  
DO 50 J=1,N  
R=0.0  
DO 51 K=1,N  
51 R=R+C(I,K)*EA(K,J)  
50 S(I,J)=R  
  
C  
50 RETURN  
END
```

```

SUBROUTINE GJRV(A,N,EPS,IERR,IA)
C
C      INVERTS ASYMMETRIC MATRICES, HAS EMERGENCY EXIT,
C      REQUIRES N**2+4*N WORDS OF ARRAY STORAGE
C
C      A IS THE NAME OF THE MATRIX TO BE INVERTED
C      N IS THE ORDER OF A
C      EPS IS A VALUE TO BE USED AS A TOLERANCE FOR
C      ACCEPTANCE OF THE SINGULARITY OF A GIVEN MATRIX
C      IERR IS AN INTEGER VARIABLE WHICH WILL CONTAIN ZERO
C      UPON RETURN IF INVERSION IS COMPLETED OR -1 IF SOME
C      PIVOT ELEMENT HAS AN ABSOLUTE VALUE LESS THAN EPS
C      IA IS THE DIMENSION PARAMETER
C      MAXIMUM ORDER OF A=40
C      THE ORIGINAL MATRIX IS DESTROYED
C      IF IERR IS RETURNED ==-1 THEN THE INVERSION HAS FAILED
C      OTHERWISE THE RESULTING INVERSE IS PLACED IN A
C
C      SUBROUTINE REQUIRED
C          NONE
C
C      DIMENSION A(IA,IA),B(40),C(40),IP(40),IQ(40)
C      IERR=0
      DO 140 K=1,N
      PIVOT=0.0
      DO 120 I=K,N
      DO 2 J=K,N
      IF(ABSF(A(I,J))-ABSF(PIVOT)) 2,2,1
1  PIVOT=A(I,J)
      IP(K)=I
      IQ(K)=J
2  CONTINUE
120 CONTINUE
      IF(ABSF(PIVOT)-EPS) 100,100,3
3  IF(IP(K)-K) 4,5,4
4  DO 5 J=1,N
      IPX=IP(K)
      Z=A(IPX,J)
      A(IPX,J)=A(K,J)
5  A(K,J)=Z
6  IF(IQ(K)-K) 7,9,7
7  DO 8 I=1,N
      IPX=IQ(K)
      Z=A(I,IPX)
      A(I,IPX)=A(I,K)
8  A(I,K)=Z
9  DO 13 J=1,N
      IF(J-K) 11,10,11
10 B(J)=1.0/PIVOT
      C(J)=1.0
      GO TO 12
11 B(J)=-A(K,J)/PIVOT
      C(J)=A(J,K)
12 A(K,J)=0.0
      A(J,K)=0.0
13 CONTINUE
      DO 14 I=1,N
      DO 14 J=1,N
14 A(I,J)=A(I,J)+C(I)*B(J)
140 CONTINUE
      DO 20 KP=1,N

```

```
K=N+1-KP
IF(IP(K)-K) 15,17,15
15 DO 16 I=1,N
  IPX=IP(K)
  Z=A(I,IPX)
  A(I,IPX)=A(I,K)
16 A(I,K)=Z
17 IF(IQ(K)-K) 18,20,18
18 DO 19 J=1,N
  IQX=IQ(K)
  Z=A(IPX,J)
  A(IPX,J)=A(K,J)
19 A(K,J)=Z
20 CONTINUE
GO TO 21
100 IERR=-1
21 RETURN
END
```

```

SUBROUTINE MEXP7T(A,B,N,IA,NOTRACE)
C
C COMPUTES B=EXP(A) BY ORIGIN SHIFT AND SERIES EXPANSION USING 7
C TERMS.
C AUTHOR,K.MORTENSSON 15/11-67.
C
C A-NXN-MATRIX.
C B-NXN-MATRIX.
C IA-DIMENSION PARAMETER.
C NOTRACE=0 MEANS THAT NO TRACE
C COMPUTATION WILL BE PERFORMED.
C MAXIMUM ORDER OF A AND B=20.
C THE MATRIX A IS DESTROYED.
C
C SUBROUTINE REQUIRED
C     NORM
C
C
DIMENSION A(IA,IA),B(IA,IA),C(7,20,20)
IF(NOTRACE) 1,5,1
1 TRAA=0.
DO 2 I=1,N
2 TRAA=TRAA+A(I,I)
IF(TRAA) 3,5,3
3 TRAA=TRAA/N
DO 4 I=1,N
4 A(I,I)=A(I,I)-TRAA
5 KDIV=0
DO 6 I=1,N
DO 6 J=1,N
6 C(1,I,J)=A(I,J)
DO 10 LOP=2,7
DO 10 I=1,N
DO 10 J=1,N
R=0.
DO 8 K=1,N
8 R=R+C(LOP-1,I,K)*A(K,J)
10 C(LOP,I,J)=R/LOP
12 DO 14 I=1,N
DO 14 J=1,N
14 B(I,J)=C(7,I,J)
CALL NORM(B,N,IA,P)
IF(P-1.0E-010) 20,20,16
16 REST=P*1.0E+010
15 KDIV=KDIV+1
RQ=2.0**((KDIV*7))
IF(RQ-REST) 15,15,17
17 DO 18 LOP=1,7
PKVAD=2.0**((KDIV*LOP))
DO 18 I=1,N
DO 18 J=1,N
18 C(LOP,I,J)=C(LOP,I,J)/PKVAD
20 DO 22 I=1,N
DO 22 J=1,N
22 B(I,J)=0.0
DO 26 I=1,N
26 B(I,I)=1.0
DO 28 LOP=1,7
DO 28 I=1,N
DO 28 J=1,N
28 B(I,J)=B(I,J)+C(LOP,I,J)
IF(KDIV) 46,46,36

```

```
36 DO 44 IPK=1,NIV
      DO 40 I=1,N
      DO 40 J=1,N
      R=0.
      DO 38 K=1,N
38   R=R+B(I,K)*B(K,J)
40   C(1,I,J)=R
      DO 42 I=1,N
      DO 42 J=1,N
42   B(I,J)=C(1,I,J)
44   CONTINUE
46   IF(NOTRACE) 47,50,47
47   IF(TRAA) 49,50,49
49   CC=EXPF(TRAA)
      DO 48 I=1,N
      DO 48 J=1,N
48   B(I,J)=CC*B(I,J)
50   RETURN
END
```

```
SUBROUTINE NORM(A,N,IA,S)
C
C   THIS SUBROUTINE COMPUTES THE MINIMAXNORM OF A WHERE
C   A=NXN-MATRIX
C   S IS THE RESULTING NORM
C   IA IS THE DIMENSION PARAMETER
C
C   SUBROUTINE REQUIRED
C       NONE
C
DIMENSION A(IA,IA)
S=S1=0.0
DO 20 J=1,N
R=0.0
DO 10 I=1,N
R=R+ABSF(A(I,J))
10 CONTINUE
IF(R.GT.S1) 15,20
15 S1=R
20 CONTINUE
C   S1=MAX OVER THE COLUMNS
DO 40 I=1,N
R=0.0
DO 30 J=1,N
R=R+ABSF(A(I,J))
30 CONTINUE
IF(R.GT.S) 35,40
35 S=R
40 CONTINUE
C   S=MAX OVER THE ROWS
C
IF(S.GT.S1) 50,60
50 S=S1
60 RETURN
END
```

```

C SUBROUTINE EIGUNS(AM,EIGR,EIGI,N,IA,IPR,IERR)
C
C SUBROUTINE FOR COMPUTING THE EIGENVALUES OF AN ARBITRARY REAL
C MATRIX BY TRIDIAGONALISATION, DETERMINANT EVALUATION AND MULLER
C ITERATIVE PROCESS.
C REFERENCE, F4 UTEX ELIMEVPR
C AUTHOR, K.MORTENSSON 20/10-67
C
C AM-NXN-MATRIX WHOSE EIGENVALUES ARE TO BE DETERMINED.
C EIGR-VECTOR OF DIMENSION N CONTAINING THE REAL PART OF THE
C EIGENVALUES.
C EIGI-VECTOR CONTAINING THE CORRESPONDING IMAGINARY PART.
C IA-DIMENSION PARAMETER.
C IPR=1 MEANS THAT PRINTOUTS WILL BE MADE IN THE SUBROUTINE.
C IPR=0 MEANS THAT NO PRINTOUTS WILL BE MADE.
C IERR IS RETURNED 0 IF THE SUBROUTINE HAS SUCCEEDED IN FINDING THE
C EIGENVALUES. IERR=1 MEANS THAT THE TRIDIAGONALISATION HAS FAILED,
C IERR=2 MEANS THAT THE MULLER METHOD FAILS TO CONVERGE.
C THE MATRIX AM IS DESTROYED
C
C SUBROUTINE REQUIRED
C     TRIDH
C     TRIRTMU
C     FUNCT
C     MODFNT
C     CSQRN
C     SCAPROnB(CODAP CODED)
C
C DIMENSION AM(IA,IA),EIGR(IA),EIGI(IA)
C DIMENSION A(20,20),B(20,20),GR(200),GI(200),RTR(20),RTI(20),S(20),
C IVEC(15)
C COMMON/HHW/B,EP,IPRINT
C COMMON/HH/GR,GI,EF,EI,EPC,ED
C COMMON/HHH/ A,RTR,RTI,S,K,IERROR
C
C
C IPRINT=IPR
C IERROR=0
C JVT=0
C GR(1)=GI(1)=0.
C GR(2)=GI(2)=GR(3)=0.1
C GI(3)=-0.1
C DO 1 I=1,N
C DO 1 J=1,N
C 1 A(I,J)=AM(I,J)
C EF=1.0E-7
C EI=1.0E-14
C EPC=1.0E-6
C ED=1.0E-7
C EP=1.0E+5
C TRAB=0.0
C DO 30 K=1,N
C 30 TRAB=TRAB+A(K,K)
C IF(IPR-1) 3,2,3
C 2 DO 4 I=1,15
C 4 IVEC(I)=4040404040404040B
C PRINT 100,(IVEC(I),I=1,15)
C 100 FORMAT(1H ,15(R8),/)
C PRINT 101
C 101 FORMAT(20X,33H PRINTOUTS FROM SUBROUTINE EIGUNS,/)
C PRINT 220,N
C 220 FORMAT(16H MATRIX OF ORDER,I4)

```

```

C      START TO TRANSFORM TO HESSENBERG FORM
3  I=1
24 IF(1.GE.,N-I)21,22
22 IPO=I+1
IPT=I+2
C      PARTIAL PIVOTING
IMAX=IPO
DO 11 J=IPT,N
IF(ABSF(A(IMAX,I)).GE.ABSF(A(J,I)))11,12
12 IMAX=J
11 CONTINUE
IF(IMAX.EQ.IPO)13,14
14 DO 15 J=I,N
T=A(IPO,J)
A(IPO,J)=A(IMAX,J)
15 A(IMAX,J)=T
DO 16 J=1,N
T=A(J,IPO)
A(J,IPO)=A(J,IMAX)
16 A(J,IMAX)=T
13 IF(A(IPO,I).EQ.0.)32,33
33 DO 17 J=IPT,N
AM(J,IPO)=A(J,I)/A(IPO,I)
17 A(J,I)=0.
AM(IPO,IPO)=1.
DO 18 J=IPT,N
DO 18 K=IPO,N
18 A(J,K)=A(J,K)-AM(J,IPO)*A(IPO,K)
NMI=N-I
DO 19 K=1,N
DO 20 J=IPO,N
20 S(J)=A(K,J)
CALL SCAPRODB(S(IPO),AM(IPO,IPO),NMI,A(K,IPO))
19 CONTINUE
GO TO 613
32 DO 612 J=IPT,N
612 AM(J,IPO)=0.
613 I=I+1
GO TO 24
21 TRAA=0.
DO 31 K=1,N
31 TRAA=TRAA+A(K,K)
IF(IPRINT-1) 6,5,6
5 PRINT 201,TRAB,TRAA
201 FORMAT(16H ORIGINAL TRACE=E20.10,29H, TRACE OF HESSENBERG MATRIX=E
120.10)
6 CALL TRIDH(N)
IERR=IERROR
KKK=IERR+1
GO TO(7,9,9),KKK
7 DO 8 I=1,N
EIGR(I)=RTR(I)
8 EIGI(I)=RTI(I)
9 IF(IPRINT-1) 52,50,52
50 PRINT 102
102 FORMAT(/,20X,40H END OF PRINTOUTS FROM SUBROUTINE EIGUNS,/)

PRINT 100,(IVE0(I),I=1,15)
52 RETURN
END

```

```

SUBROUTINE TRIDH(NA)
DIMENSION A(20,20),B(20,20),BM(20),S(20),RTR(20),RTI(20),GR(200),
1 GI(200)

C
COMMON/HHW/B,EP,IPRINT
COMMON/HHH/ A,RTR,RTI,S,K,IERROR
N=NA
DO 1 J=1,N
DO 1 L=1,N
1 B(J,L)=A(J,L)
K=1
NMO=N-1
NMT=N-2
TRA=0.
MB=0
7 I=K
76 IF(1.GE.N-I)30,75
75 IPO=I+1
IPT=I+2
IF(A(IPO,I).EQ.0.)4,5
4 IF(IPRINT-1) 101,100,101
100 PRINT 50,I
50 FORMAT(32H THE MATRIX IS REDUCIBLE AT STEP,I3)
101 RTR(I)=A(I,I)
RTI(I)=0.
TRA=TRA+A(I,I)
K=K+1
IF(K.EQ.N-1)30,7
5 DO 10 J=IPO,N
IF(A(I,J).EQ.0.)10,12
10 CONTINUE
GO TO 4
12 NM1=N-I
SUM=ABSF(A(I,IPT))
DO 19 J=IPT,NMO
IF(SUM.LT.ABSF(A(I,J+1)))70,19
70 SUM=ABSF(A(I,J+1))
19 CONTINUE
IF(SUM.GE.EP*ABSF(A(I,IPO)))2,3
2 KPO=K+1
MB=MB+1
KN=N-K+1
IF(MB-2)20,21,22
20 IF(IPRINT-1) 103,102,103
102 PRINT 51,I,MB
51 FORMAT(8H AT STEP,I3,32H PRECONDITION TRANSFORMATION NO.,I2)
103 DO 23 J=K,N
DO 23 L=KPO,N
23 A(J,L)=A(J,L)+A(J,K)
DO 24 J=K,N
DO 72 L=KPO,N
72 S(L)=-1.
S(K)=1.
24 CALL SCAPRODB(A(K,J),S(K),KN,A(K,J))
GO TO 7
21 IF(IPRINT-1) 111,110,111
110 PRINT 51,I,MB
111 DO 25 J=K,N
DO 25 L=KPO,N
25 A(J,L)=A(J,L)-A(J,K)
DO 26 J=K,N

```

```

DO 73 L=K,N
73 S(L)=1.
26 CALL SCAPRODB(A(K,J),S(K),KN,A(K,J))
GO TO 7
22 MO=MB-1
IF(IPRINT-1) 105,104,105
104 PRINT 52,MO
52 FORMAT(1I3,56H PRECONDITIONS HAVE BEEN MADE. TRIDIAGONALIZATION FA
1ILS.)
105 IERROR=1
RETURN
3 DO 27 L=IPT,N
27 BM(L)=A(I,L)/A(I,IPO)
BM(IPO)=1.
DO 28 J=IPO,IPT
DO 28 L=IPT,N
28 A(J,L)=A(J,L)-A(J,IPO)*BM(L)
NM=1
DO 29 J=IPO,NMO
NM=NM+1
29 CALL SCAPRODB(A(IPO,J),BM(IPO),NM,A(IPO,J))
CALL SCAPRODB(A(IPO,N),BM(IPO),NMI,A(IPO,N))
IF(I.EQ.NMT)34,31
31 IF(A(IPT,IPO).EQ.0.)36,37
36 IF(IPRINT-1) 113,112,113
112 PRINT 50,IPO
113 DO 56 J=K,IPO
56 TRA=TRA+A(J,J)
GO TO 90
37 SUM=ABSF(A(IPO,IPT+1))
DO 32 J=IPT,NMT
IF(SUM.LT.ABSF(A(IPO,J+2)))71,32
71 SUM=ABSF(A(IPO,J+2))
32 CONTINUE
IF(SUM.GE.EP*ABSF(A(IPO,IPT)))33,34
33 DO 35 J=IPT,N
IF(A(IPO,J).EQ.0.)35,39
35 CONTINUE
GO TO 36
39 DO 38 J=K,N
DO 38 L=K,N
38 A(J,L)=B(J,L)
I=I+1
GO TO 2
90 DO 91 J=K,I
91 S(J+1)=A(J,J+1)*A(J+1,J)
CALL TRIRTMU(IPO,IPRINT)
IF(IERROR-2) 96,97,96
97 RETURN
96 K=IPT
GO TO 7
34 I=I+1
IPO=I+1
IPT=I+2
NMI=N-I
GO TO 76
30 DO 60 J=K,N
60 TRA=TRA+A(J,J)
IF(IPRINT-1) 107,106,107
106 PRINT 95,TRA
95 FORMAT(29H TRACE OF TRIDIAGONAL MATRIX=E20.10)
107 DO 61 J=K,NMO

```

```
61 S(J+1)=A(J,J+1)*A(J+1,J)
   IF(IPRINT-1) 89,55,89
55 PRINT 85,(A(J,J),J=1,N)
85 FORMAT(12H --TRIDIAGONAL MATRIX--/14H MAIN DIAGONAL/(6E20.10))
   PRINT 86,(A(J-1,J),J=2,N)
86 FORMAT(14H SUPERDIAGONAL/(6E20.10))
   PRINT 62,(A(J,J-1),J=2,N)
62 FORMAT(12H SUBDIAGONAL/(6E20.10))
89 CALL TRIRTMU(N,IPRINT)
   IF(IERROR-2) 93,94,93
94 RETURN
93 SUMR=0.
   SUMI=0.
   DO 87 J=1,N
   SUMR=SUMR+RTR(J)
87 SUMI=SUMI+RTI(J)
   IF(IPRINT-1) 109,108,109
108 PRINT 88,SUMR,SUMI
88 FORMAT(19H SUM OF EIGENVALUES,2E20.10)
109 RETURN
END
```

```

C SUBROUTINE TRIRTMU(NINPUT,IPRINT)
C SUBROUTINE FOR COMPUTING THE EIGENVALUES OF THE TRIDIAGONAL
C MATRIX BY DETERMINANT EVALUATION AND THE MULLER ITERATION PROCESS.
C DIMENSION FR(200),FI(200),A(20,20),GR(200),GI(200),RTR(20),RTI(20)
1,S(20)
COMMON//HH/GR,GI,EF,EI,EPC,ED
COMMON//HHH/ A,RTR,RTI,S,K,IERROR
N=NINPUT
SUM=A(K,K)**2
KPO=K+1
DO 600 I=KPO,N
600 SUM=SUM+A(I,I)**2+A(I-1,I)**2+A(I,I-1)**2
EMAX=SUM-EF
NM=K-1
NPLO=NM+1
760 KK=1
DO 750 I=1,3
CALL FUNCT(N,GR(I),GI(I),TEMR,TEMI)
IF(ABSF(TEMR)+ABSF(TEMI))751,751,799
799 CALL MODFNT(NM,TEMR,TEMI,GR(I),GI(I),FR(I),FI(I))
750 CONTINUE
NG=1
NGT=NG+2
758 IF(NG>200)780,781,781
781 IF(IPRINT-1) 101,100,101
100 PRINT 805
805 FORMAT(21H MULLER METHOD FAILS./)
101 IERROR=2
RETURN
780 NGO=NG+1
ABR=GR(NG)-GR(NGT)
ABI=GI(NG)-GI(NGT)
BBR=GR(NGO)-GR(NGT)
BBI=GI(NGO)-GI(NGT)
DAR=FR(NG)-FR(NGT)
DAI=FI(NG)-FI(NGT)
DBR=FR(NGO)-FR(NGT)
DBI=FI(NGO)-FI(NGT)
BDAR=BBR*DAR-BBI*DAI
BDAI=BBR*DAI+BBI*DAR
ADBR=ABR*DBR-ABI*DBI
ADBI=ABR*DBI+ABI*DBR
UNR=BDAR-ADBR
UNI=BDAI-ADBI
ABBR=ABR*BBR-ABI*BBI
ABBI=ABR*BBI+ABI*BBR
AMBR=ABR-BBR
AMBI=ABI-BBI
DENR=ABBR*AMBR-ABBI*AMBI
DENI=ABBR*AMBI+ABBI*AMBR
DEN=DENR**2+DENI**2
ASDBR=ABR*ADBR-ABI*ADBI
ASDBI=ABR*ADBI+ABI*ADBR
BSDAR=BBR*BDAR-BBI*BDAI
BSDAI=BBR*BDAI+BBI*BDAR
BNUR=ASDBR-BSDAR
BNUI=ASDBI-BSDAI
CAR=(UNR*DENR+UNI*DENI)/DEN
CAI=(UNI*DENR-UNR*DENI)/DEN
CBR=(BNUR*DENR+BNUI*DENI)/DEN
CBI=(BNUI*DENR-BNUR*DENI)/DEN

```

```

CCR=FR(NGT)
CCI=FI(NGT)
CBSR=CBR+CBR-CBI+CBI
CBSI=2.+CBR+CBI
FACR=4.+(CAR+CCR-CAI+CCI)
FACI=4.+(CAR+CCI+CAI+CCR)
QDR=CBSR-FACR
QDI=CBSI-FACI
CALL CSORN(QDR,QDI,CDR,CDI)
IF((-CBR)*CDR+(-CBI)*CDI)752,753,753
752 DDR=-CBR-CDR
DDI=-CBI-CDI
GO TO 754
753 DDR=CDR-CBR
DDI=CDI-CBI
754 DD=DDR**2+DDI**2
DBR=2.+((CCR+DDR+CCI+DDI)/DD
DBI=2.+((CCI+DDR-CCR+DDI)/DD
DB=DBR**2+DBI**2
CM=GR(NGT)**2+GI(NGT)**2
IF(EMAX-CM)610,610,611
611 CM=EMAX
610 GR(NGT+1)=GR(NGT)+DBR
GI(NGT+1)=GI(NGT)+DBI
NGT=NGT+1
ABSF=ABSF(GR(NGT))+ABSF(GI(NGT))
IF(ABSF(GR(NGT))-ABS*ED)785,786,786
785 GR(NGT)=0.
GO TO 787
786 IF(ABSF(GI(NGT))-ABS*ED)788,787,787
788 GI(NGT)=0.
787 IF(DB-EI-CM)765,756,756
756 CALL FUNCT(N,GR(NGT),GI(NGT),TEMPR,TEMPI)
IF(ABSF(TEMPR)+ABSF(TEMPI))765,765,766
766 CALL MODFNT(NM,TEMPR,TEMPI,GR(NGT),GI(NGT),FR(NGT),FI(NGT))
NM=NM+1
GO TO 758
751 NGT=I
NIT=0
GO TO 500
765 NIT=NGT
500 RTR(NPLO)=GR(NGT)
RTI(NPLO)=GI(NGT)
IF(IPRINT-1) 759,102,759
102 PRINT 801,NPLO,RTR(NPLO),RTI(NPLO),NIT
801 FORMAT(15H EIG-NVALUE NO.,I3,1H=2E20.10,3H, (I4,12H ITERATIONS))
759 NM=NM+1
NPLO=NM+1
IF(NM-N)770,761,761
770 ABS0=ABSF(GR(NGT))+ABSF(GI(NGT))
IF(ABSO-EI)797,797,794
794 GO TO (795,797),KK
795 KK=2
IF(ABSF(GI(NGT))/ABSO-EPC)797,797,796
796 GI(NGT)=-GI(NGT)
NIT=0
GO TO 500
797 TER = GR(NGT) + 1.001 + .001
TEI = GI(NGT) + 1.001 + .001
GR(1)=TER+.75
GR(2)=TER
GR(3)=TER+1.25

```

GI(1)=TEI+.75  
GI(2)=TEI  
GI(3)=TEI+1.25  
GO TO 760  
761 CONTINUE  
END

C SUBROUTINE FUNCT(NA,AGR,AGI,FNR,FNI)  
C SUBROUTINE FOR COMPUTING THE CHARACTERISTIC DETERMINANT OF A  
C TRIDIAGONAL MATRIX  
DIMENSION A(20,20),RTR(20),RTI(20),S(20)  
COMMON/HHH/ A,RTR,RTI,S,K,IERROR  
POR=1.  
POI=0.  
PTR=A(K,K)-AGR  
PTI=-AGI  
KPO=K+1  
DO 3 I=KPO,NA  
TI=A(I,I)-AGR  
TTR=TI+PTR+AGI+PTI  
TTI=TI+PTI-AGI+PTR  
FNR=TTR-S(I)\*POR  
FNI=TTI-S(I)\*POI  
POR=PTR  
POI=PTI  
PTR=FNR  
PTI=FNI  
3 CONTINUE  
RETURN  
END

C SUBROUTINE MODFNT(NR,FNR,FNI,AGR,AGI,FUNR,FUNI)  
C SUBROUTINE FOR EVALUATING THE FUNCTION VALUES FOR USE IN THE MULLER  
C PROCESS  
DIMENSION A(20,20),RTR(20),RTI(20),S(20)  
COMMON/HHH/ A,RTR,RTI,S,K,IERROR  
TR=1.  
TI=0.  
DO 1 I=K,NR  
WR=TR  
WI=TI  
TTR=RTR(I)-AGR  
TTI=RTI(I)-AGI  
TR=WR+TTR-WI+TTI  
1 TI=WR+TTI+WI+TTR  
WR=TR+TI+TI  
FUNR=(FNR+TR+FNI+TI)/WR  
FUNI=(FNI+TR-FNR+TI)/WR  
END

C SUBROUTINE CSQRN(XR,XI,YR,YI)  
SUBROUTINE FOR EXTRACTING THE SQUARE ROOT OF A COMPLEX NUMBER  
1 IF(XR=XI)1,2,1  
2 IF(XR)3,4,3  
3 IF(XR)5,5,6  
5 YR=0.  
YI=SQRTF(ABSF(XR))  
GO TO 10  
6 YR=SQRTF(XR)  
YI=0.  
GO TO 10  
4 IF(XI)7,8,7  
8 YR=0.  
YI=0.  
GO TO 10  
7 YR=SQRTF(ABSF(XI)/2.)  
IF(XI)9,11,11  
9 YI=-YR  
GO TO 10  
11 YI=YR  
GO TO 10  
1 UR=ABSF(XR)+SQRTF(XR\*XR+XI\*XI)  
U=SQRTF(2.\*UR)  
IF(XR)12,13,13  
12 YR=XI/U  
YI=U/2.  
GO TO 10  
13 YR=U/2.  
YI=XI/U  
10 CONTINUE  
END

	IDENT	SCAPRODB	
	CODAP		55
	REM	AN ACCURATE REAL SCALER PRODUCT SUBROUTINE.	55
	ENTRY	SCAPRODB	55
SCAPRODB	SLJ	..	56
+	LDA	SCAPRODB	56
	INA	1	56
	STA	=STEMP1	56
	LDA	B7 TEMP1	56
	SAU	POWERB	56
	SAL	RECORD	56
	ALS	24	56
	SAU	CONTINUE	56
	SAU	POWERA	56
	RAO	TEMP1	56
	INA	1	57
	SAL	STORE+1	57
	LDA	B7 TEMP1	57
	SAU	STORE	57
	ALS	24	57
	SAL	LOOP	57
	SIL	B1 S ORE	57
	SIU	B2 STORE+1	57
	ENA	0	INITIALIZE
	STA	=SSUMU	LOCATIONS.
	STA	=SSUML	57
	STA	=SS	58
	ENI	B1 0	58
LOOP	ENA	B1 0	TEST FOR
	SUB	..	COMPLETION OF SUMMATION
	AJP	M CONTINUE	$A(1) \cdot B(1) + \dots + A(N) \cdot B(N)$ .
	SLJ	FINISH	58
CONTINUE	LDA	B1 ..	EXTRACT
	AJP	P F	MANTISSA
	SST	=03777000000000000000	IF $A(I)$
+	SLJ	G	IN FIXED-POINT,
F	SCL	=03777000000000000000	FRACTIONAL
G	ALS	11	FORMAT.
	AJP	N RECORD	TEST $A(I)$ FOR ZERO.
	INI	B1 1	$A(I)=0$ . THEN
	SLJ	LOOP	$A(I) \cdot B(I)=0$ .
RECORD	STA	TEMP1	MANTISSA OF $A(I)$ .
	LDA	B1 ..	EXTRACT
	AJP	P J	MANTISSA
	SST	=03777000000000000000	OF $B(I)$
J	SLJ	K	IN FIXED-POINT
K	SCL	=03777000000000000000	FRACTIONAL
	ALS	11	FORMAT.
	AJP	N MULTIPLY	TEST $B(I)$ FOR ZERO.
	INI	B1 1	$B(I)=0$ . THEN
	SLJ	LOOP	$A(I) \cdot B(I)=0$ .
MULTIPLY	MUF	TEMP1	MULTIPLY THE MANTISSAS TOGETHER.
	SCO	B2 1	SCALE THE DOUBLE-LENGTH PRODUCT.
	STA	=SCFU	NORMALIZED DOUBLE-LENGTH
	STQ	=SCFL	MANTISSA OF $A(I) \cdot B(I)$ .
POWERA	LDA	B1 ..	EXTRACT
	AJP	P E	EXPONENT
	SCM	=077777777777777777	OF $A(I)$
E	ALS	1	IN INTEGER FORMAT.
	SCM	=040000000000000000	..
	ARS	37	..

POWERB	STA TEMP1		EXTRACT EXPONENT OF B(I)
	LDA B1 ..		IN INTEGER FORMAT.
	AJP P V		
V	SCM =0777777777777777		
	ALS 1		
	SCM =0400000000000000		
	ARS 37		
	ADD TEMP1		COMPUTE SUM
	STA TEMP1		OF THE EXPONENS.
	ENA B2 0		ADJUST EXPONENT
	INA -1		DUE TO THE NORMALIZATION.
	ADD TEMP1		CORRECT EXPONENT OF A(I)*B(I).
	STA =SR		TEST THE PARTIAL
	LDA SUMU		SUM FOR ZERO.
	AJP N NOTZERO		THE PARTIAL SUM
	LDA CFU		$A(1)*B(1)+\dots+A(I-1)*B(I-1)=0$ .
	LDQ CFL		THEN THE PARTIAL SUM $A(I)*B(I)$
	STA SUMU		$\dots+A(I)*B(I)=A(I)*B(I)$ .
	STQ SijML		
	LDA R		
	STA S		
	INI B1 1		
	SLJ LOOP		
NOTZERO	LDA S		COMPARE S AND R
	SUB R		BY FORMING S-R.
	STA TEMP1		S-R IN TEMP1.
	AJP N NOTEQUAL		IF S-R=0, THEN IT IS
	LDA CFU		NOT NECESSARY
	LDQ CFL		TO ALIGN
	SLJ ALIGNED		BINARY POINT.
NOTEQUAL	AJP P NOCHANGE		IF S IS LESS THAN R,
	LAC TEMP1		INTERCHANGE A(I)*B(I)
	STA TEMP1		AND THE PARTIAL SUM.
	LDA SijMU		INTERCHANGE CFU(UPPER
	LDQ CFU		HALF MANTISSA OF A(I)*B(I))
	STA CFU		AND SUMU(UPPER HALF
	STQ SUMU		MANTISSA OF THE PARTIAL SUM)
	LDA SijML		INTERCHANGE CFL(LOWER
	LDQ CFL		HALF MANTISSA OF A(I)*B(I))
	STA CFL		AND SUML(LOWER HALF MANTISSA
	STQ SUML		OF THE PARTIAL SUM).
	LDA R		INTERCHANGE
	LDQ S		R(EXPONENT OF A(I)*B(I))
	STA S		AND S(EXPONENT
	STQ R		OF THE PARTIAL SUM).
NOCHANGE	ENA 91		CHECK SHIFT COUNT TO BE
	SUB TEMP1		NECESSARY TO ALIGN BINARY
	AJP P ALIGN		POINT BEFORE SHIFTING. IF IT
	INI B1 1		IS LARGER THAN 91, A(I)*B(I)
	SLJ LOOP		IS TOO SMALL.
ALIGN	LDA CFU		ALIGN BINARY
	LDQ CFL		POINT BY SHIFTING
	LRS 7 TEMP1		A(I)*B(I) RIGHT BY S-R PLACES.
ALIGNED	LRS 2		GIVE TWO MORE SIGN BITS.
	SCL =0400000000000000		PLACE 0 AT THE
	STA CFU		BEGINNING OF UPPER HALF.
	ENA 0		PLACE 0 AT THE
	LRS 1		BEGINNING OF
	STQ CFL		LOWER HALF.
	LDA SijMU		
	LDQ SUML		
	LRS 2		GIVE TWO MORE SIGN BITS.

	SCL	=04000000000000000000	PLACE 0 AT THE	6
	STA	SUMU	BEGINNING OF UPPER HALF.	6
	ENA	0	PLACE 0	6
	LRS	1	AT THE BEGINNING	6
	STQ	SUML	OF LOWER HALF.	6
STARTADD	LDA	SUML	ADD	6
	ADD	CFL	LOWER HALVES.	6
	STA	TEMP1		6
	LDO	T TEMP1		6
	ENA	0	CLEAR A-REG AND	6
	LLS	1	BRING POSSIBLE CARRY INTO A-REG.	6
	ADD	SUMU	ADD CARRY	6
	ADD	CFU	AND UPPER HALVES.	6
	AJP	P NOCARRY	TEST FOR END-AROUND CARRY.	6
	STA	=STEMP2	END-AROUND	6
	ENA	2	CARRY EXISTS.	6
	LRS	1	MAKE AN	6
	STQ	T TEMP1	END-AROUND	6
	ADD	TEMP1	CARRY.	6
	STA	TEMP1	*	6
	LDO	TEMP1	*	6
	ENA	0	*	6
	LLS	1	*	7
	ADD	TEMP2	*	7
NOCARRY	LLS	1	SIGN BIT AT THE BEGINNING OF A $\neq$ REG	7
	LRS	2	THESE TWO OPERATIONS SUPPLY	7
	LLS	2	CORRECT FILLER BITS(SIGN BITS).	7
	SCQ	B2 95	NORMALIZE THE	7
	STA	SUMU	DOUBLE-LENGTH	7
	STQ	SUML	SUM.	7
	ENA	B2 0	ADJUST	7
	INA	-94	EXONENT	7
	ADD	S	DUE TO	7
	STA	S	THE NORMALIZATION.	7
	INI	B1 1	$A(1) \cdot B(1) + \dots + A(I) \cdot B(I)$ FORMED.	7
	SLJ	LOOP	REPLACE I BY I+1. BACK TO LOOP.	7
FINISH	LDA	SUMU	THE SCALER PRODUCT	7
	AJP	Z ZERO		7
	AJP	P PLUS	$A(1) \cdot B(1) + \dots + A(N) \cdot B(N)$ FORMED.	7
	LAC	SUMU	ROUND OFF THE DOUBLE $\neq$ LENGTH ANSWER	7
PLUS	ARS	1	TO SINGLE $\neq$ LENGTH(36	7
	INA	1000B	BITS MANTISSA).	7
	SCA	B2 1	*	7
+	SSK	SUMU	*	7
+	SLJ	NOCOMP	*	7
NOCOMP	SCM	=0777777777777777	*	7
	ARS	11	*	7
	SCL	=03777000000000000	*	7
	STA	SUMU	*	7
	ENA	B2 0	ADJUST EXPONENT	7
	ADD	S	DUE TO THE ROUND-OFF.	7
	ALS	36	REPACK THE	7
+	SSK	SUMU	EXPONENT	7
+	SLJ	NOTCOMP	AND THE MANTISSA	7
+	SCM	=0777777777777777	INTO 48-BITS STANDARD	7
NOTCOMP	SCM	=0200000000000000	FLOATING-POINT FORMAT.	7
	SCL	=0400077777777777	*	7
	ADD	SUMU	*	7
STORE	STA	..	STORE THE ANSWER.	7
	ENI	B1 ..		7
	ENI	B2 ..		7
	SLJ	..	NORMAL RETURN.	7

ZERO

ENA

SLJ

END

0

STORE

748

742

746